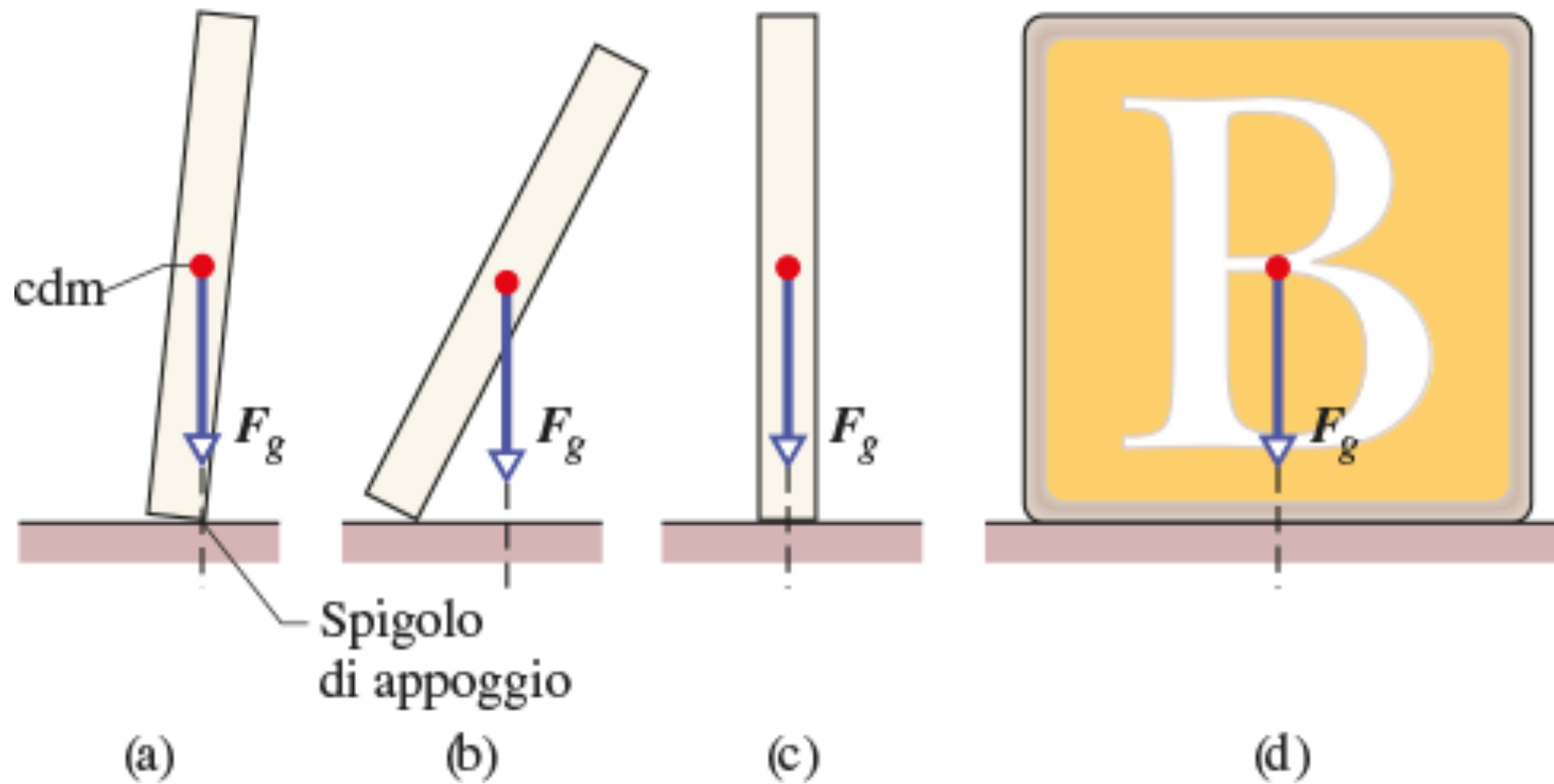




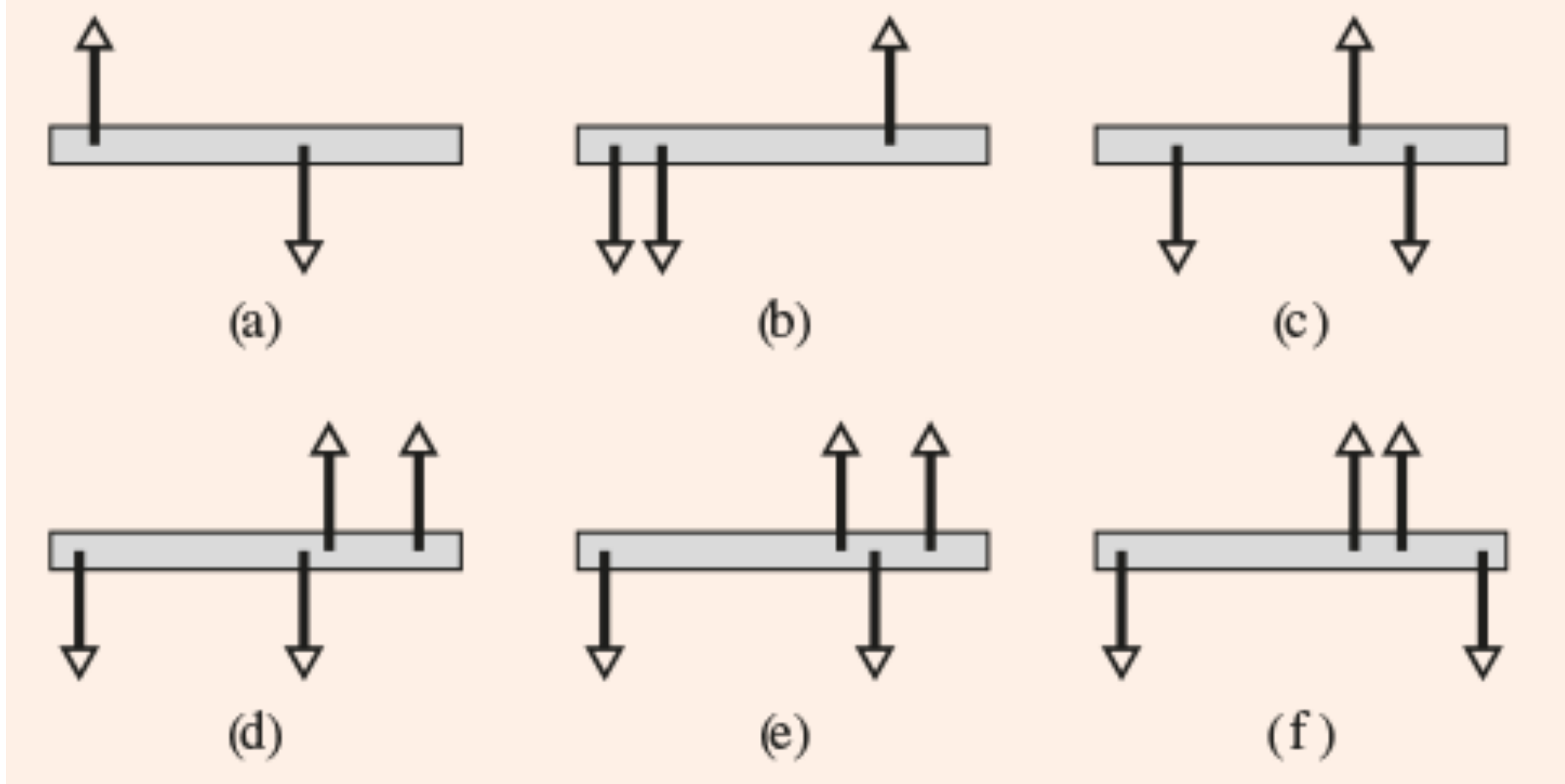
Kanwarjit Singh Boparai/Shutterstock

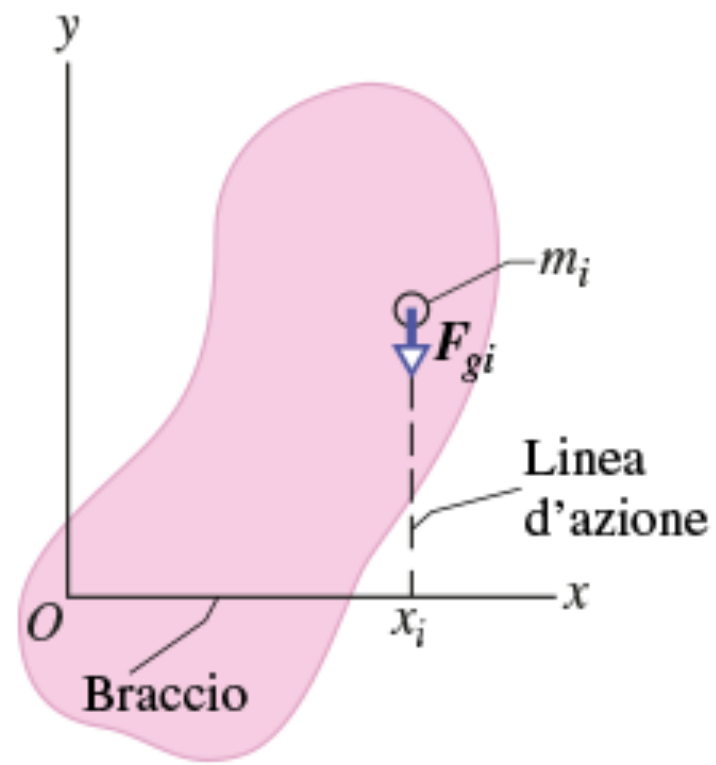
Per ribaltare la tessera il centro di massa deve sporgere rispetto allo spigolo d'appoggio



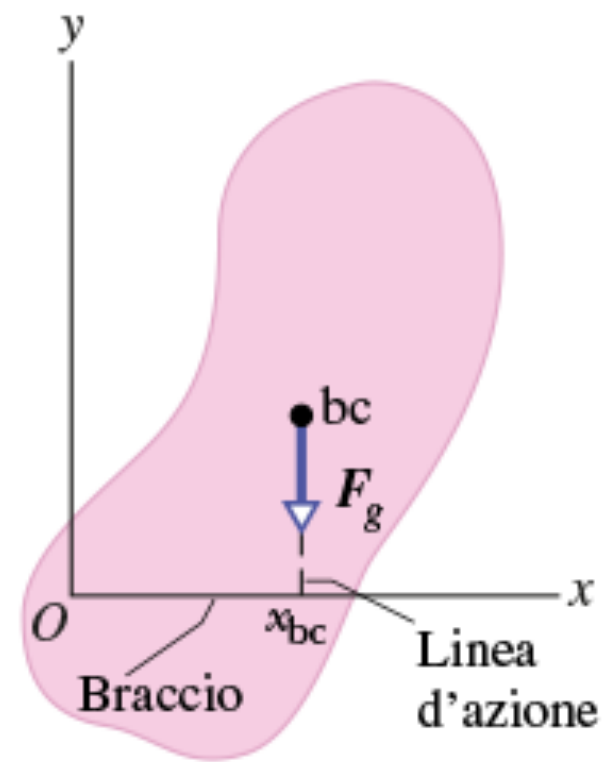


Robert-Brenner/PhotoEdit

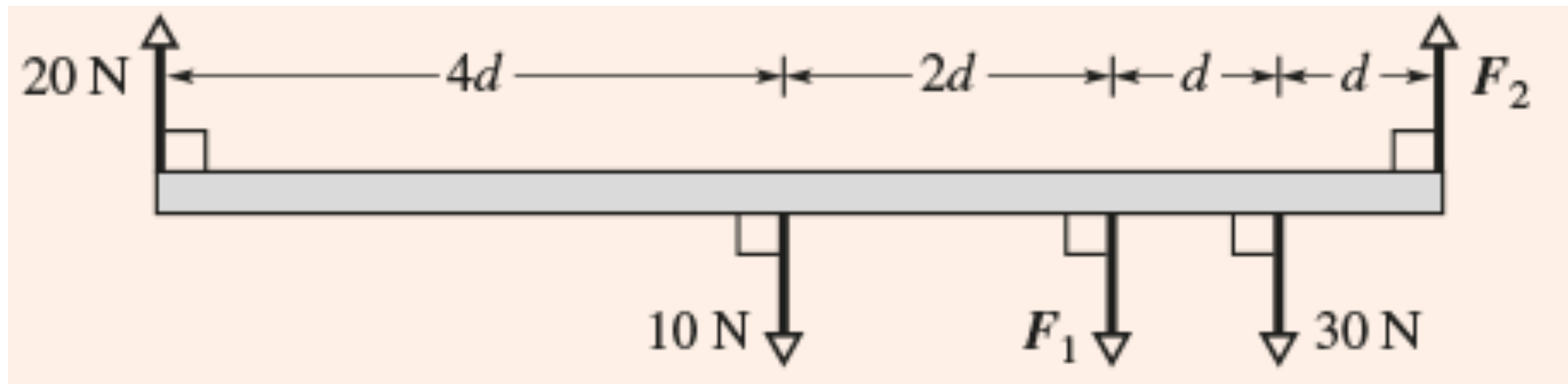


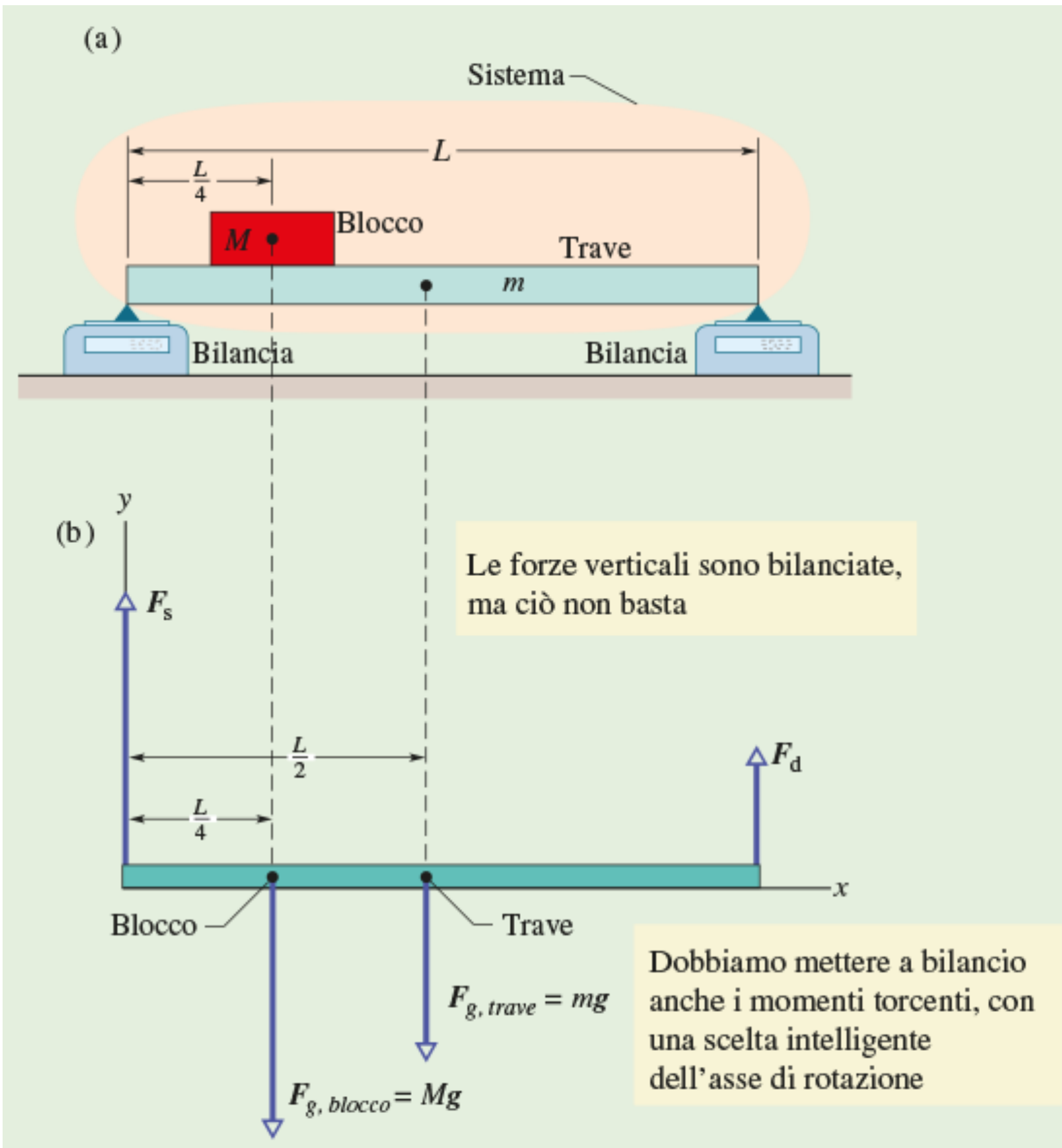


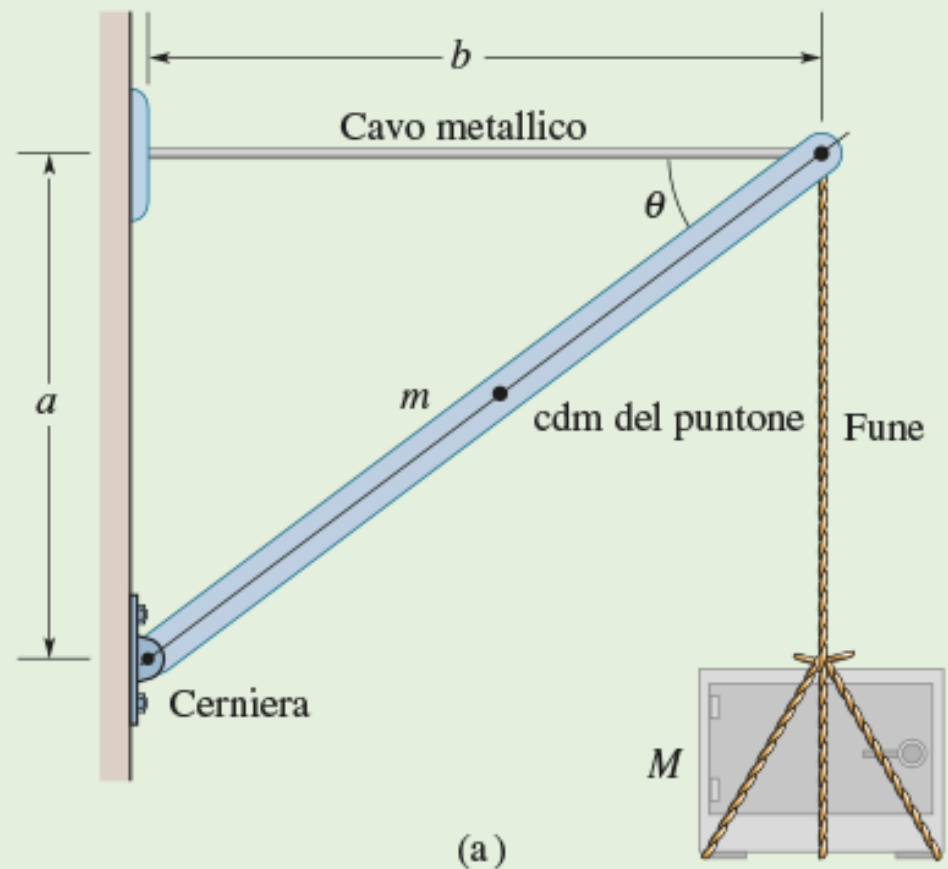
(a)



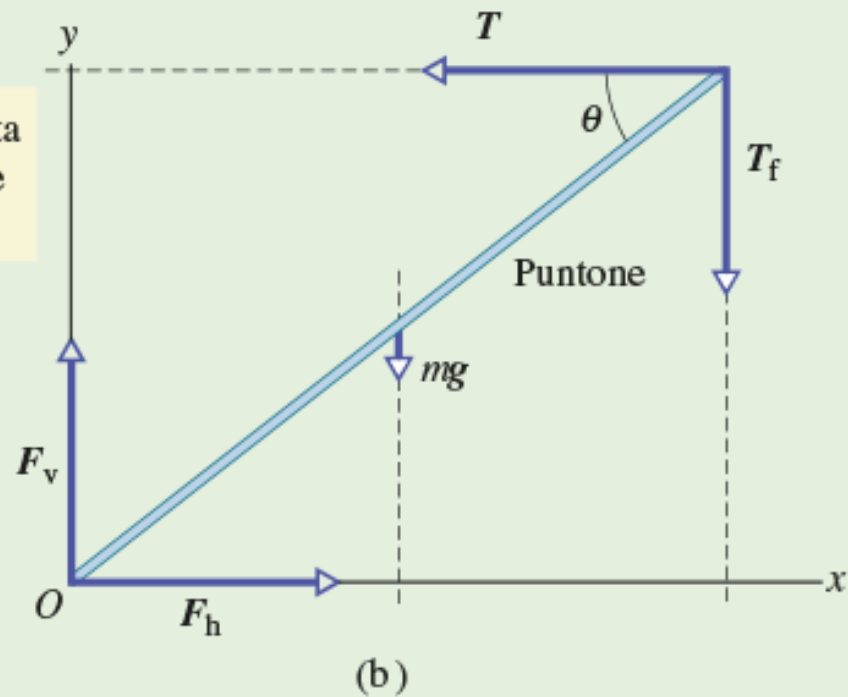
(b)

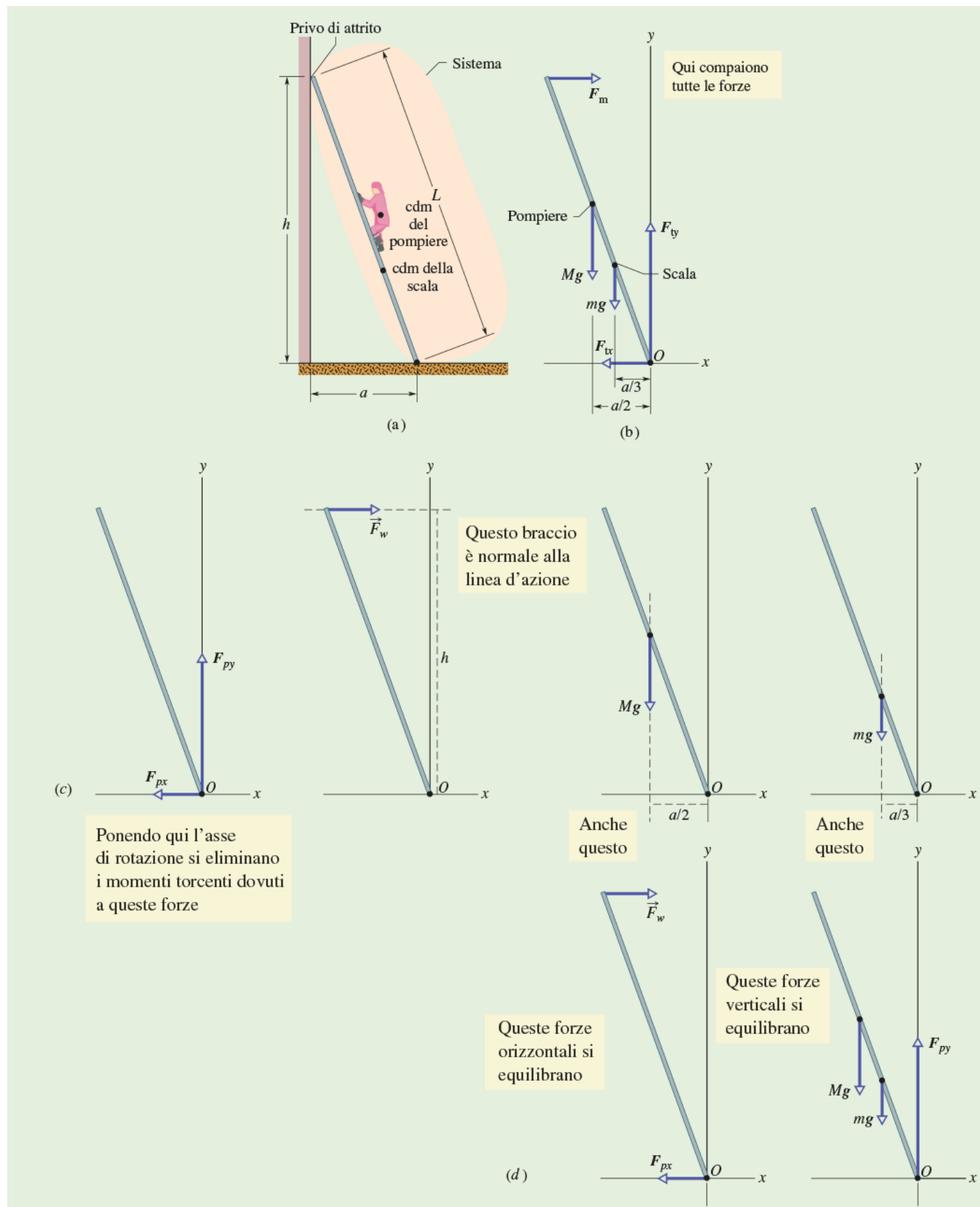


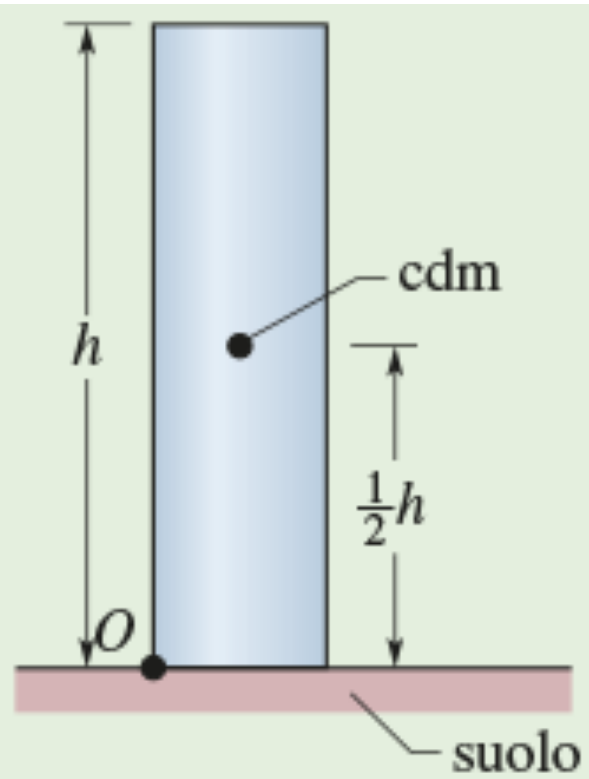




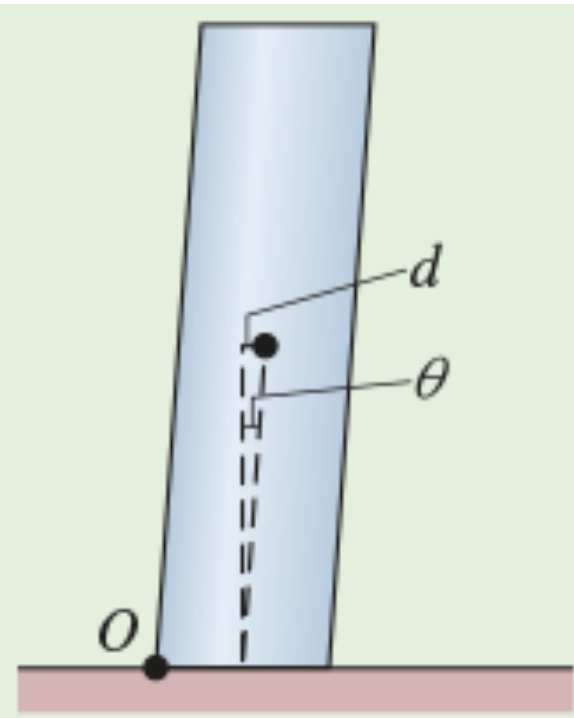
Questa è una scelta avveduta dell'asse di rotazione



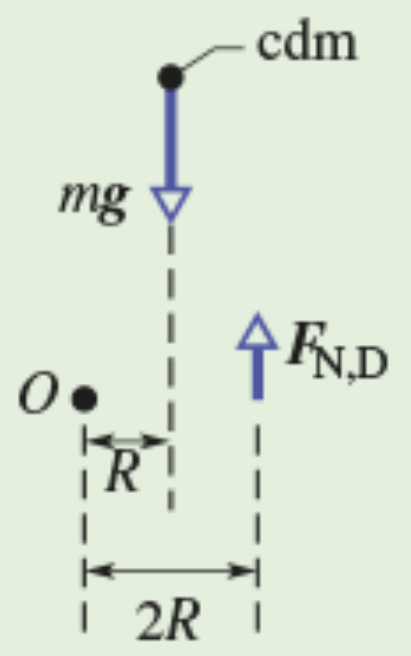




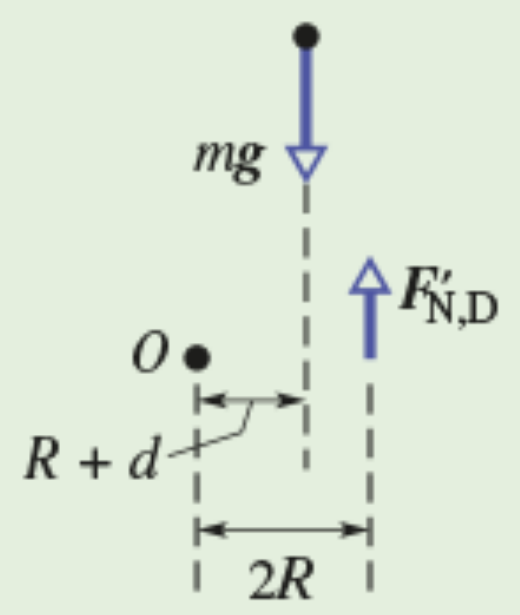
(a)



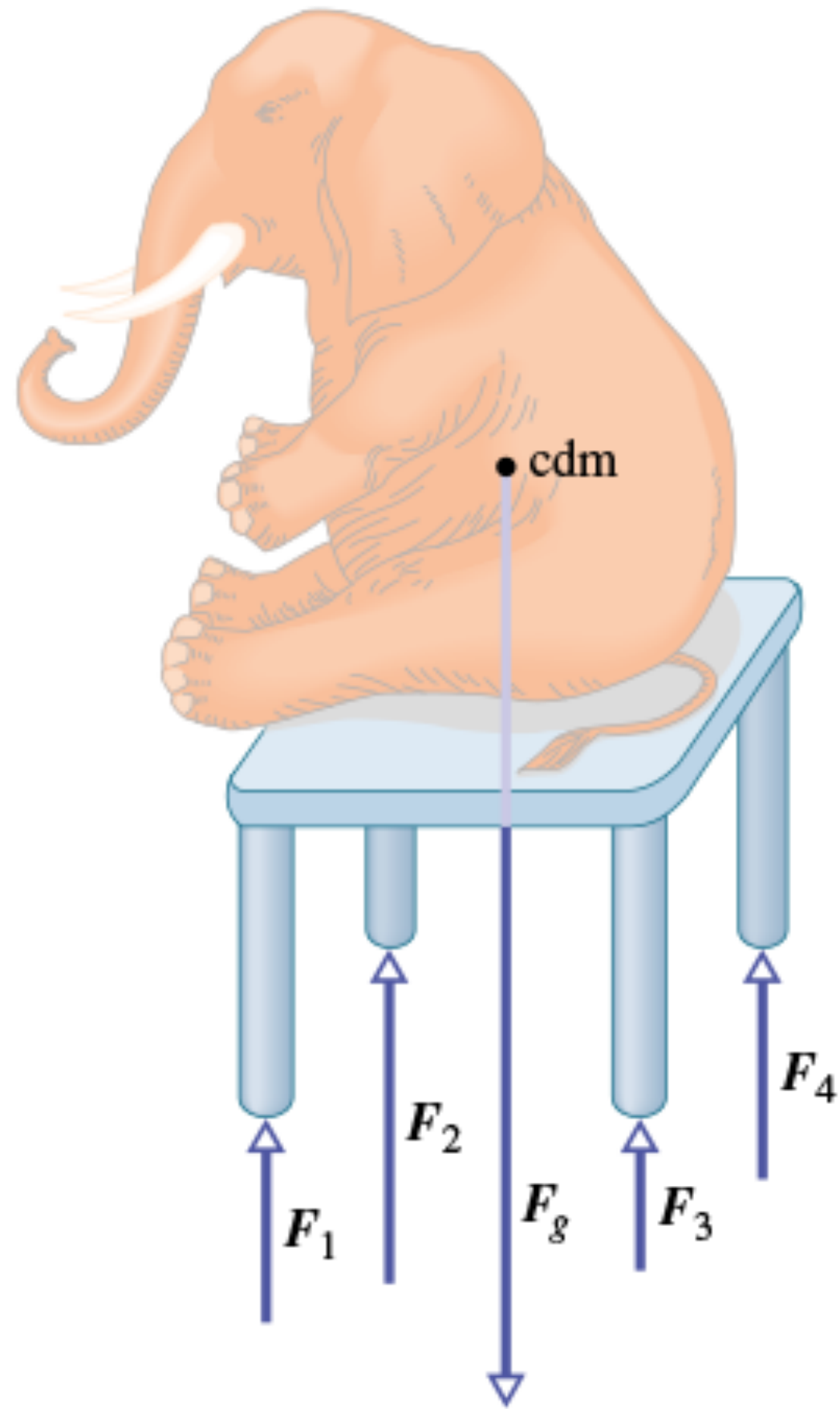
(b)

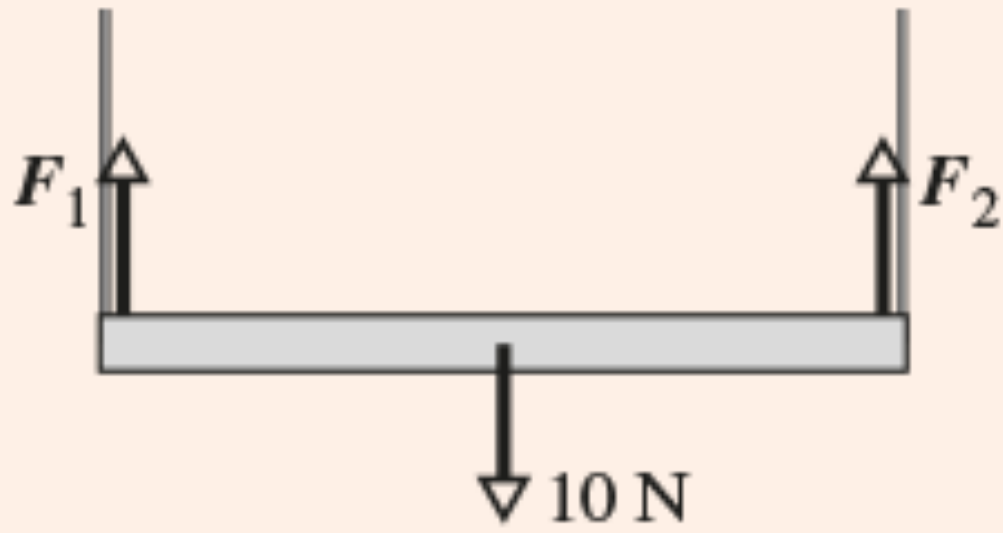


(c)

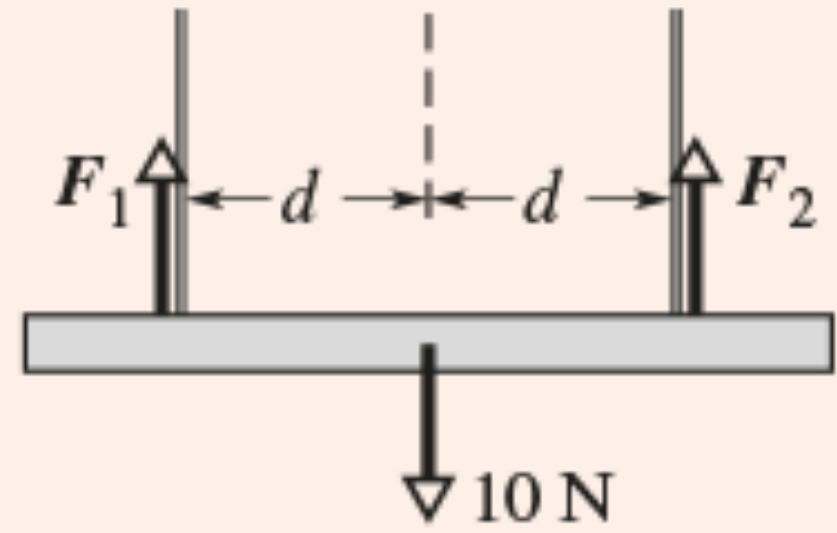


(d)

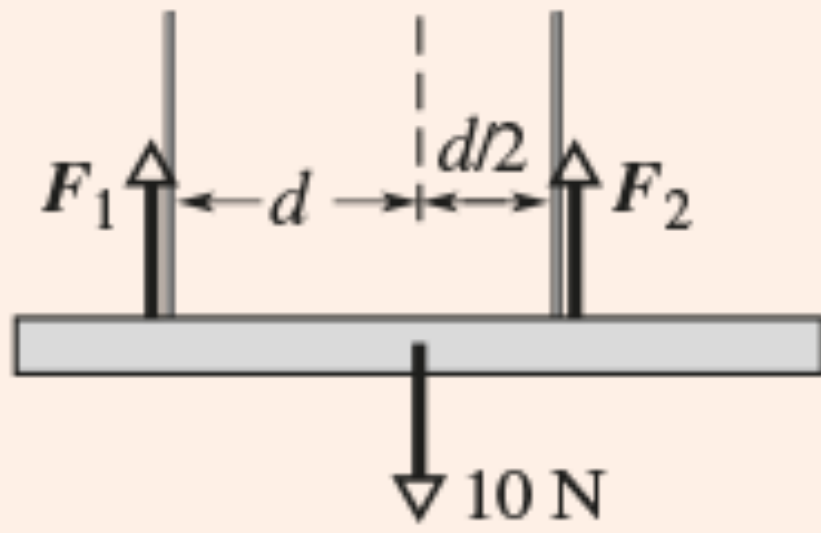




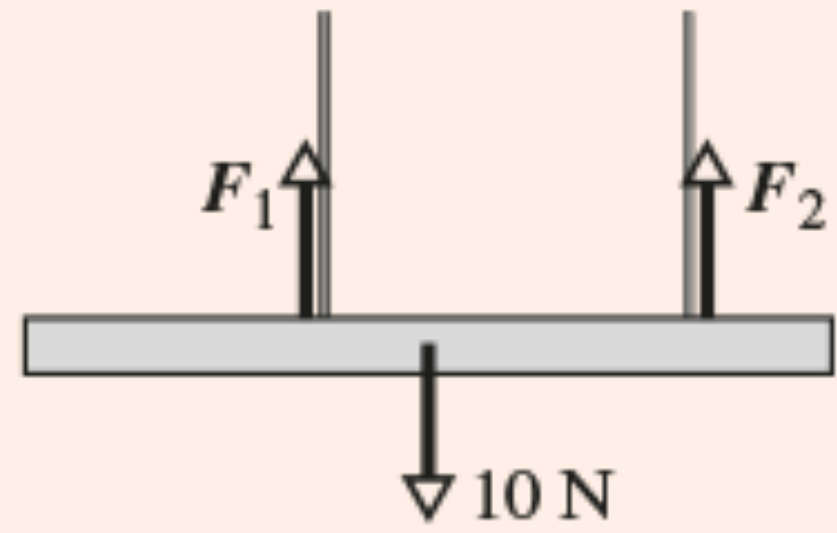
(a)



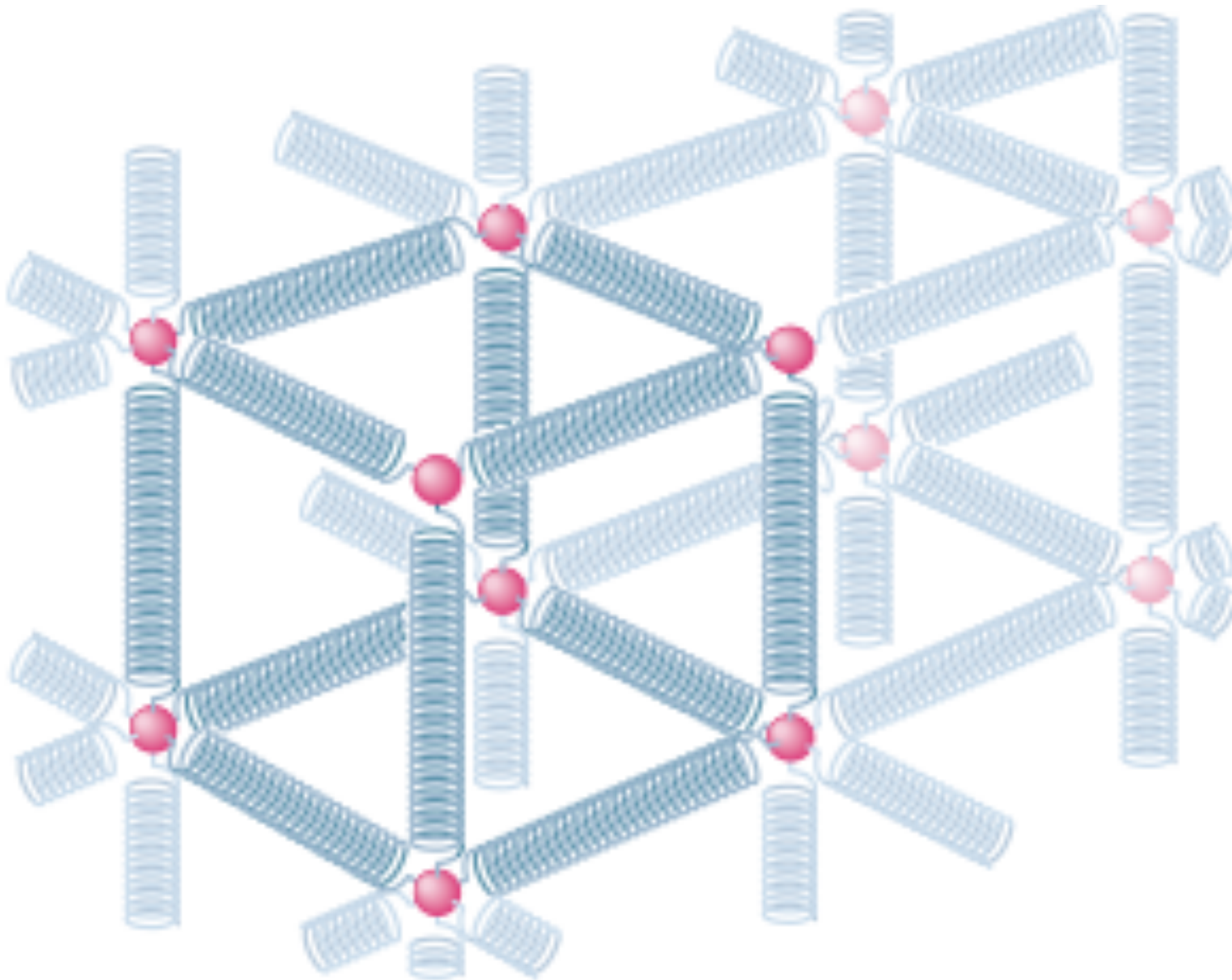
(b)

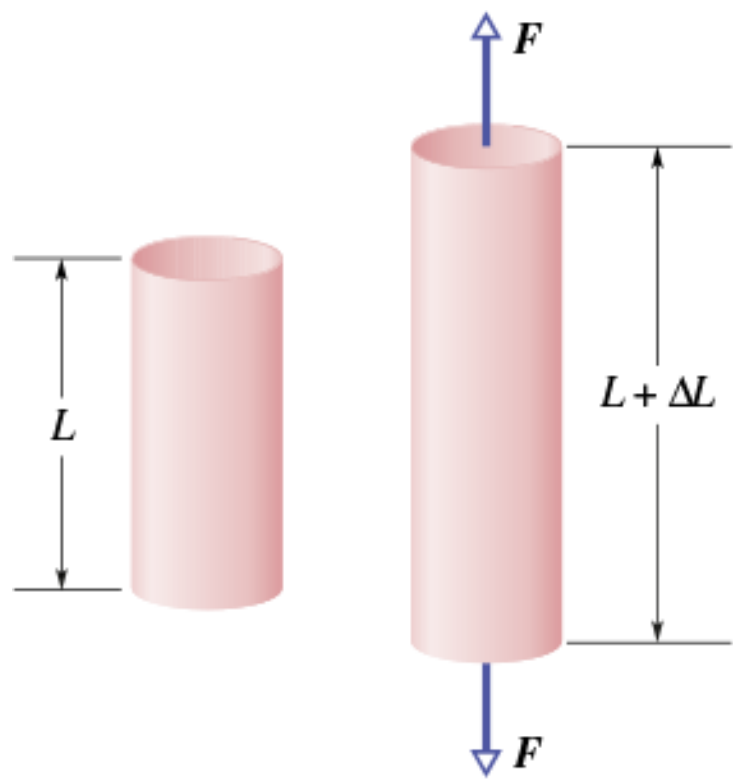


(c)

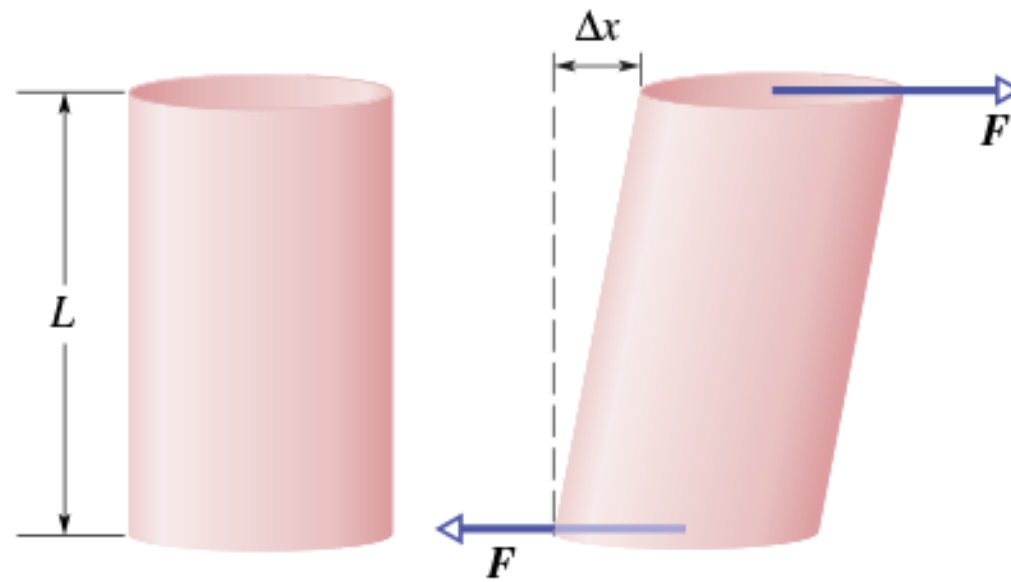


(d)

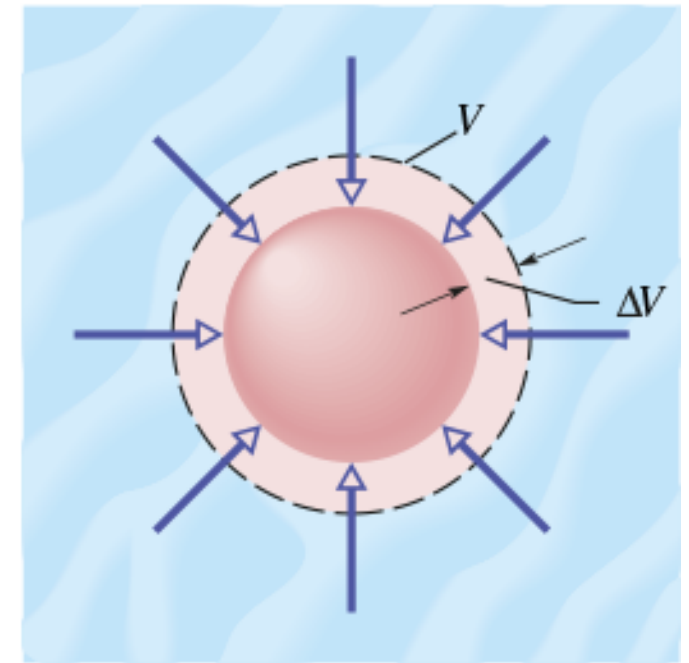




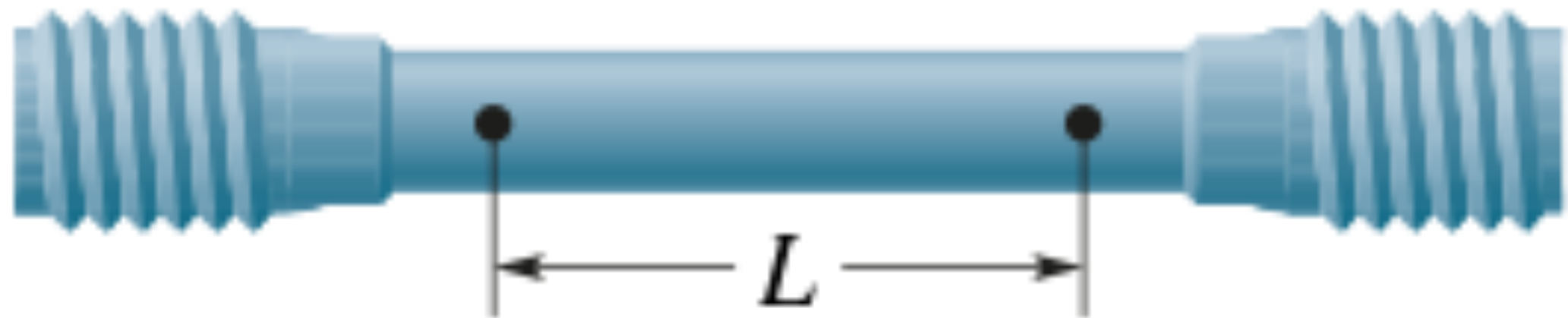
(a)

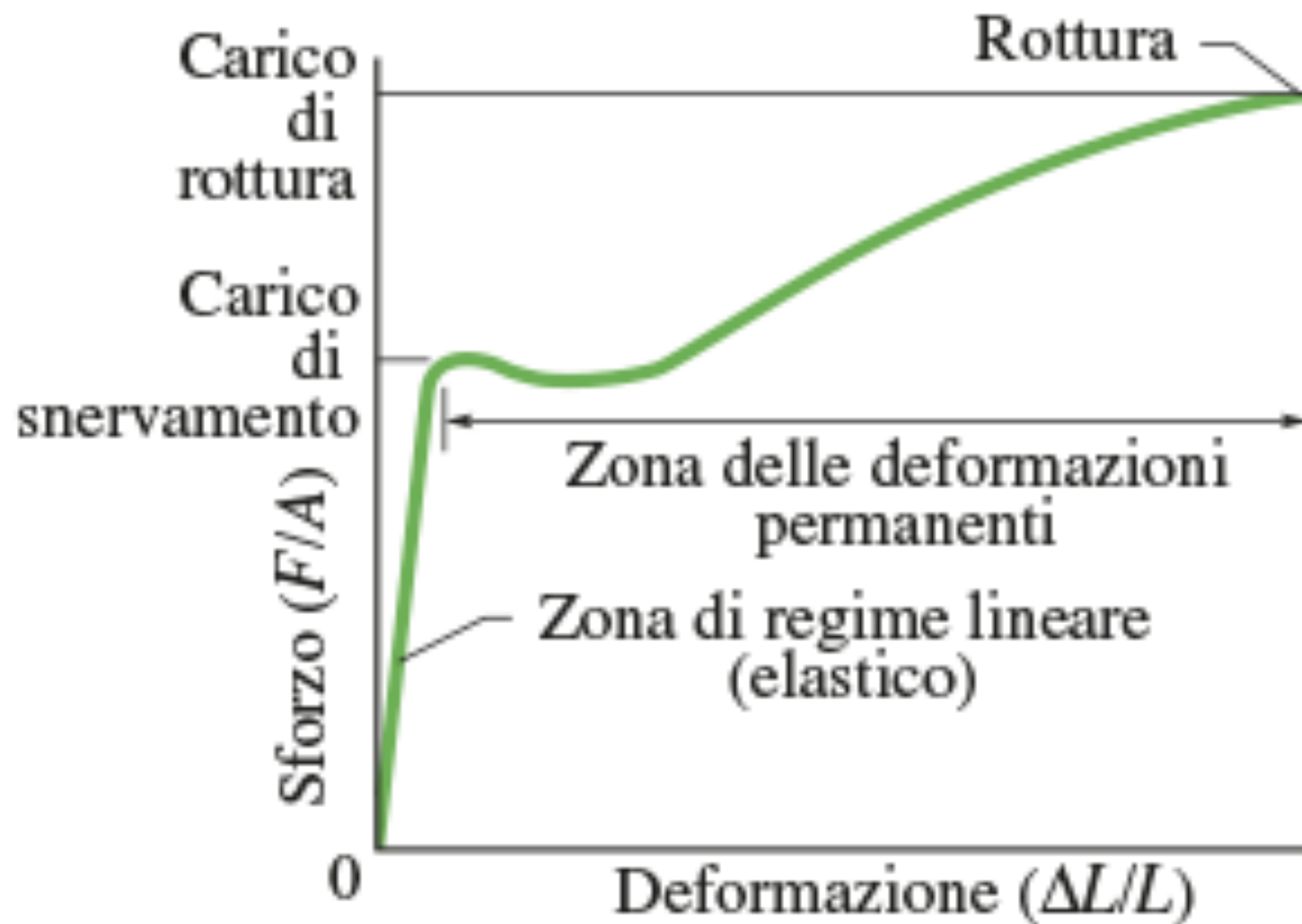


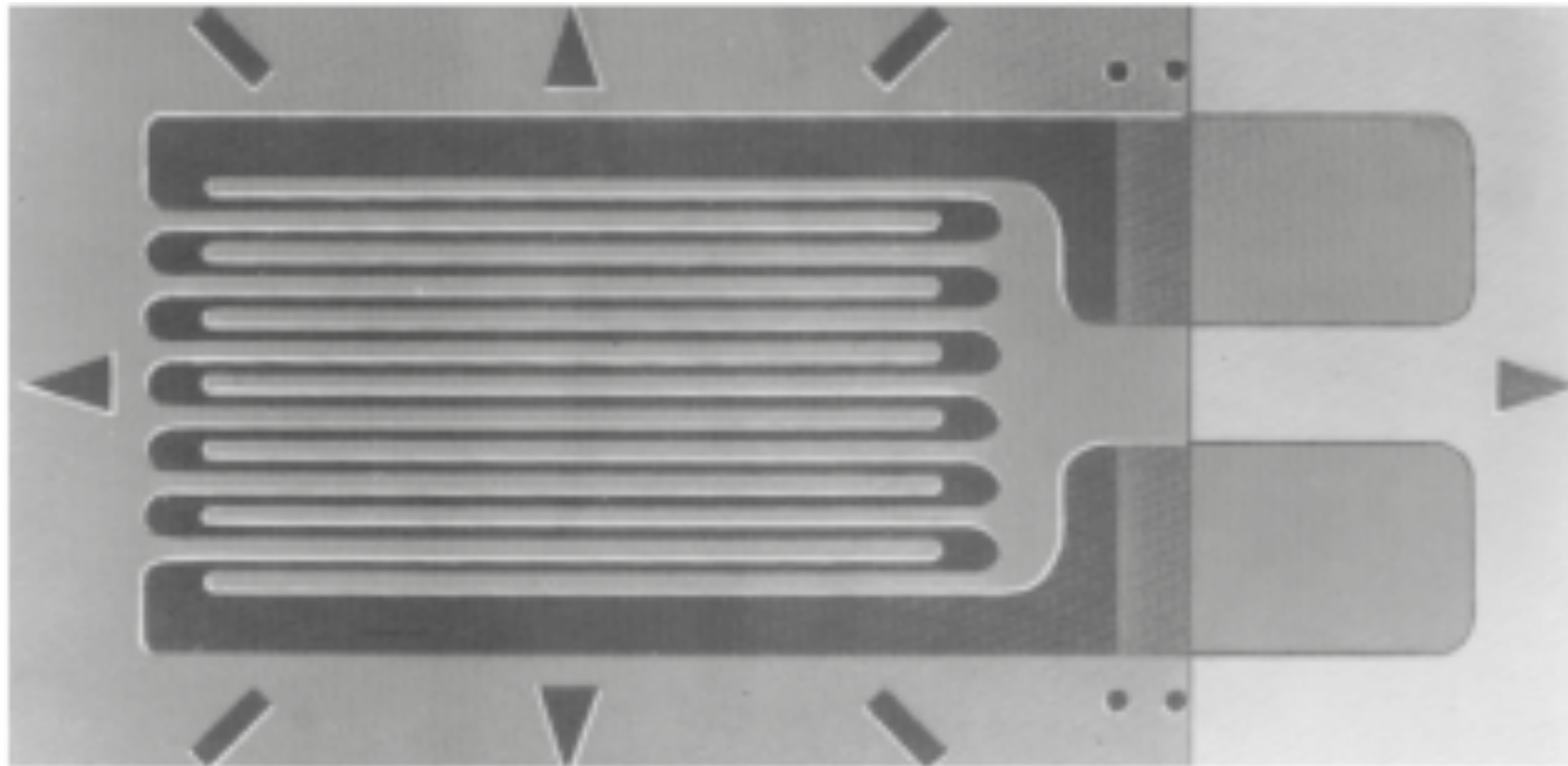
(b)



(c)







**Per gentile concessione di Vishay
Micro-Measurements Group, Raleigh, NC.**

Tabella 12.1 Alcune proprietà elastiche di materiali interessanti per l'ingegneria

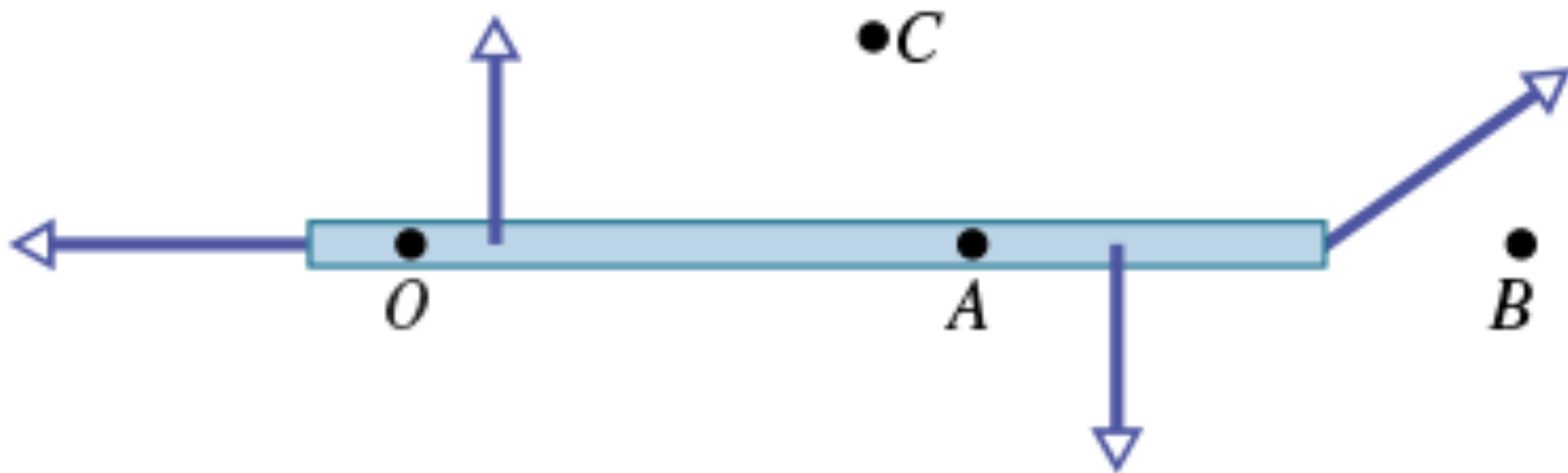
Materiale	Massa volumica ρ (kg/m ³)	Modulo di Young E (10 ⁹ N/m ²)	Limite di rottura S_r (10 ⁶ N/m ²)	Limite di snervamento S_s (10 ⁶ N/m ²)
Acciaio ^a	7860	200	400	250
Alluminio	2710	70	110	95
Vetro	2190	65	50 ^b	—
Calcestruzzo ^c	2320	30	40 ^b	—
Legno ^d	525	13	50 ^b	—
Osso	1900	9 ^b	170 ^b	—
Polistirene	1050	3	48	—

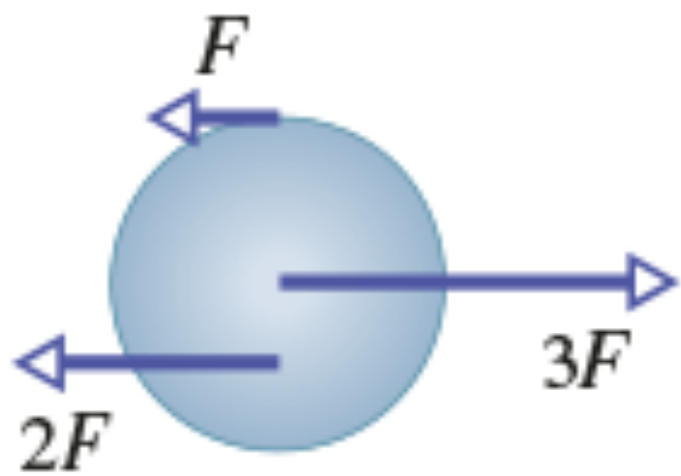
^a Acciaio da costruzione (ASTM A36).

^d Abete di *Douglas*.

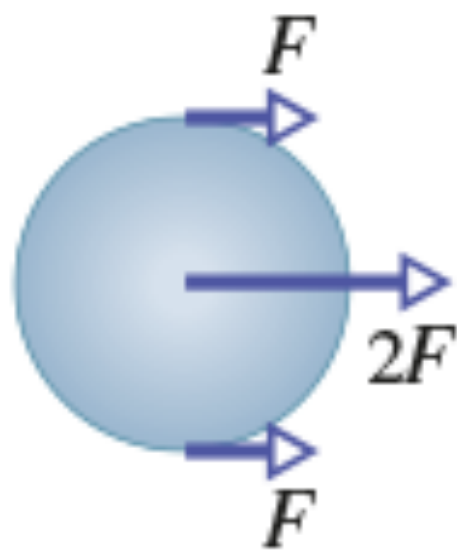
^b In compressione.

^c Ad alta resistenza.

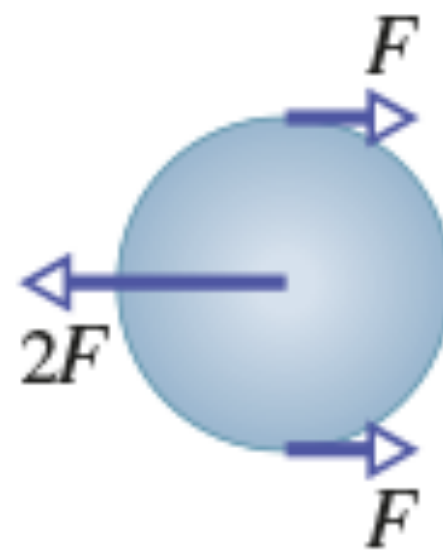




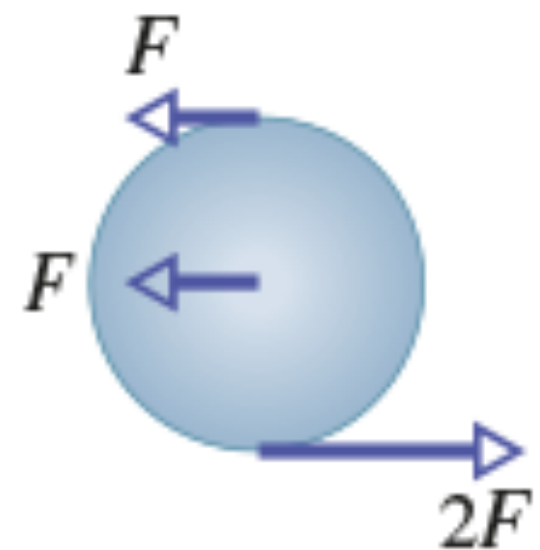
(a)



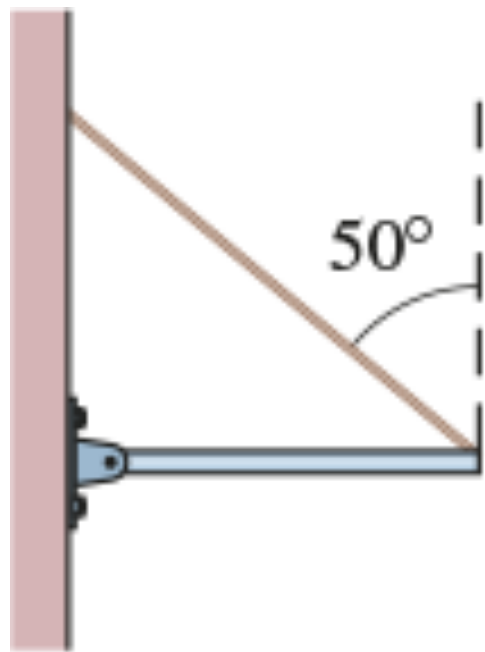
(b)



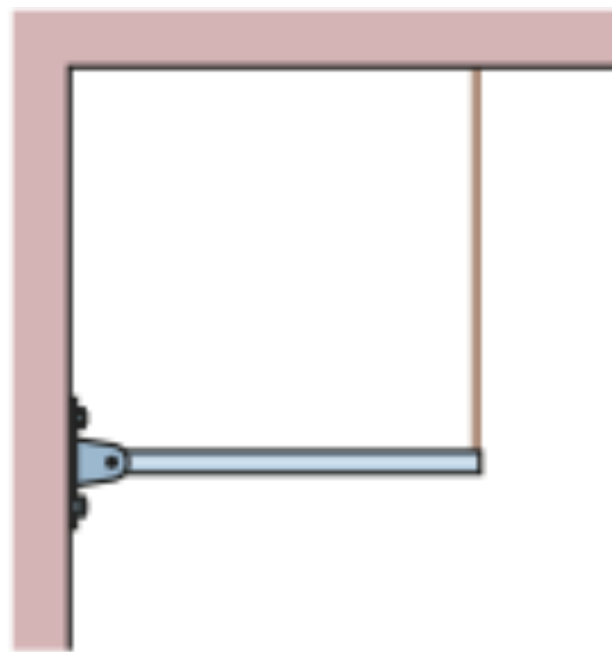
(c)



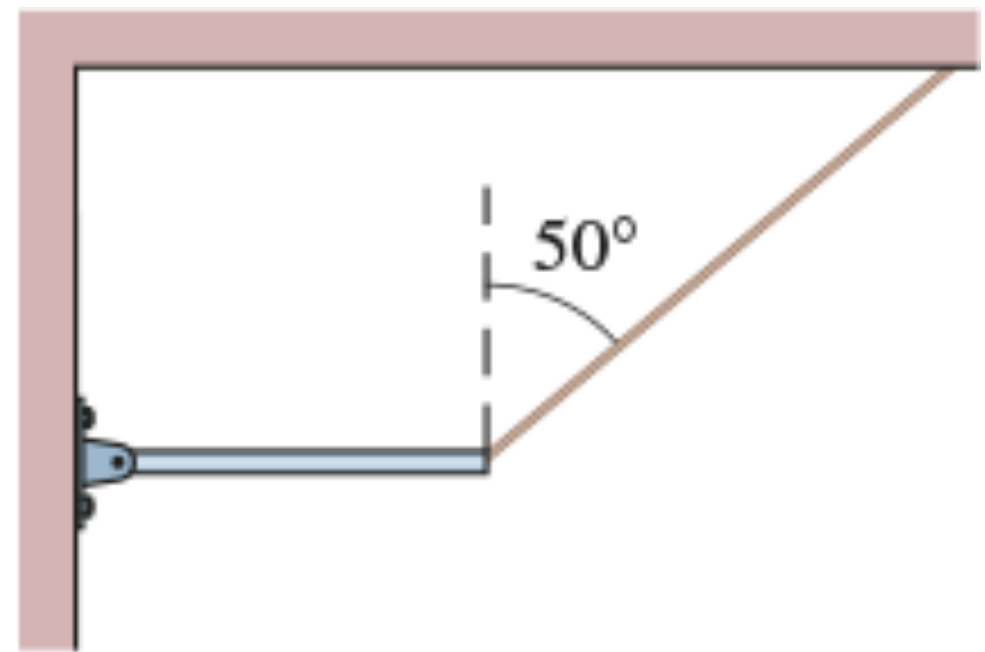
(d)



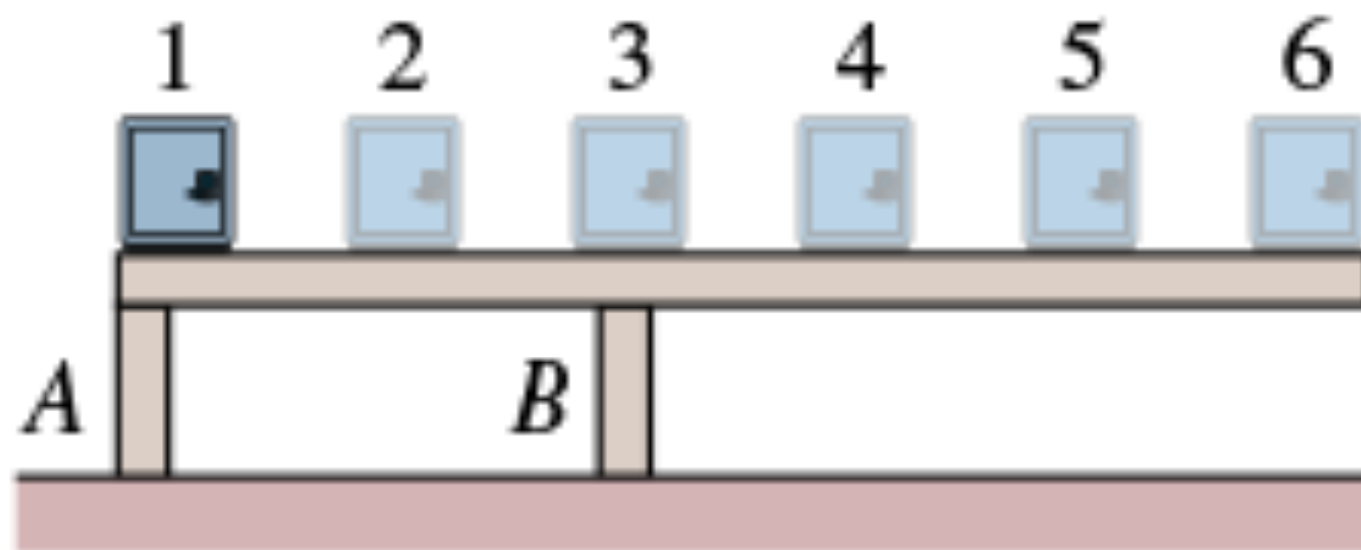
(1)

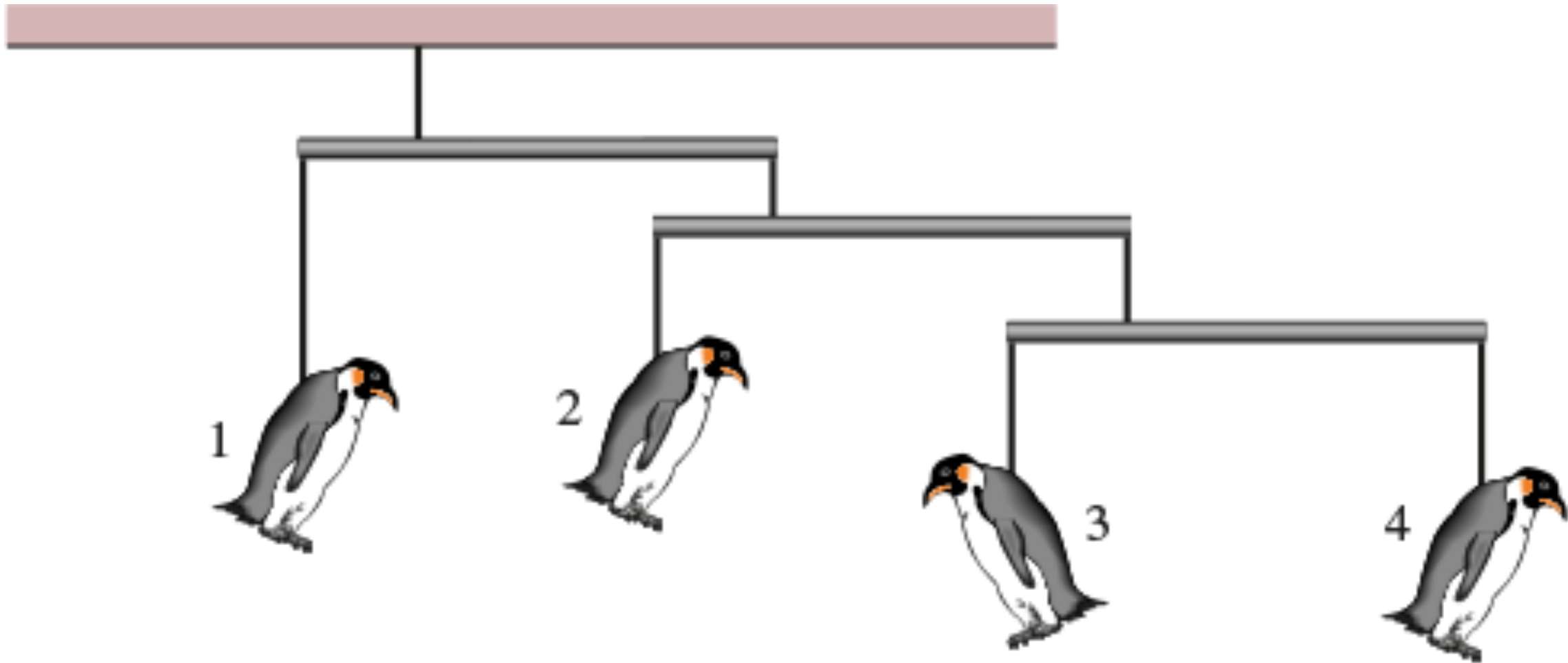


(2)



(3)



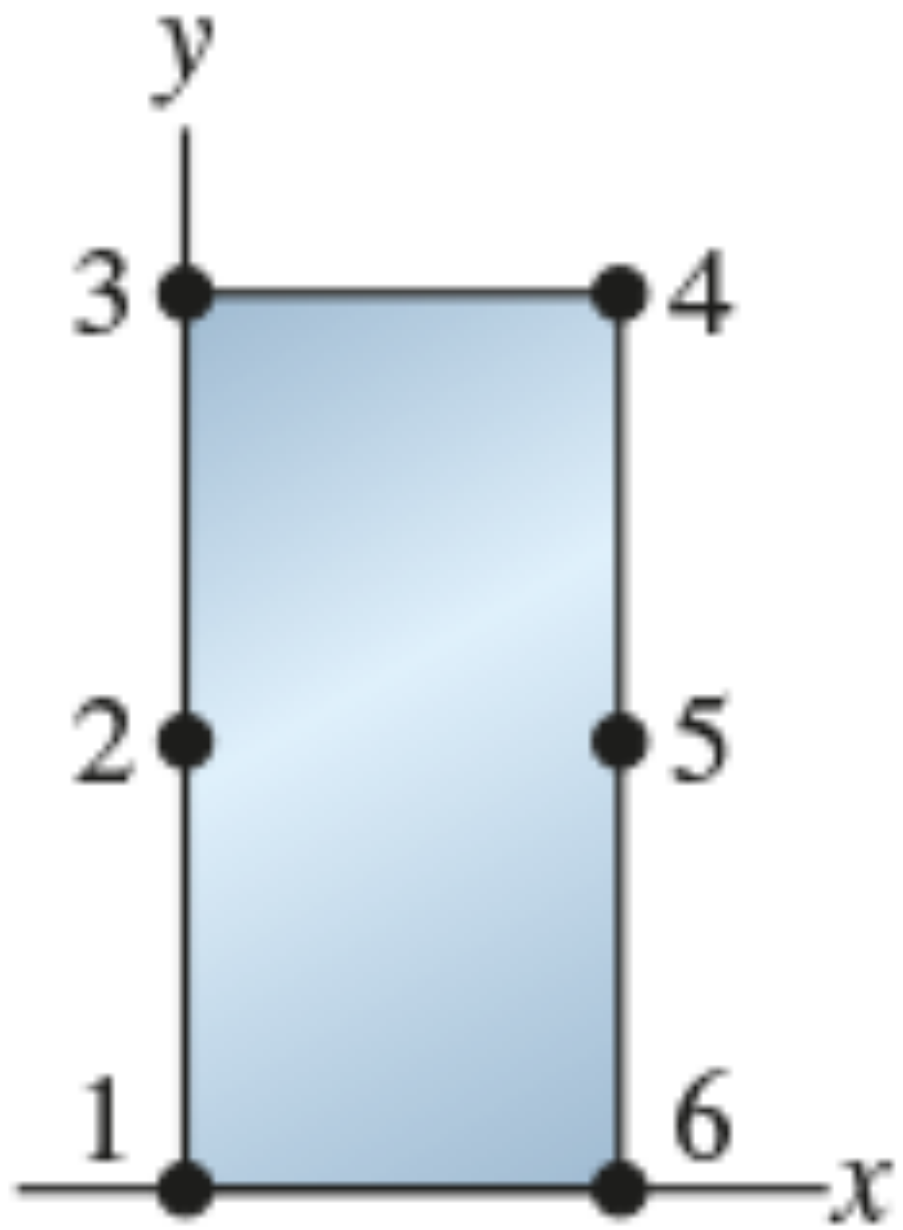


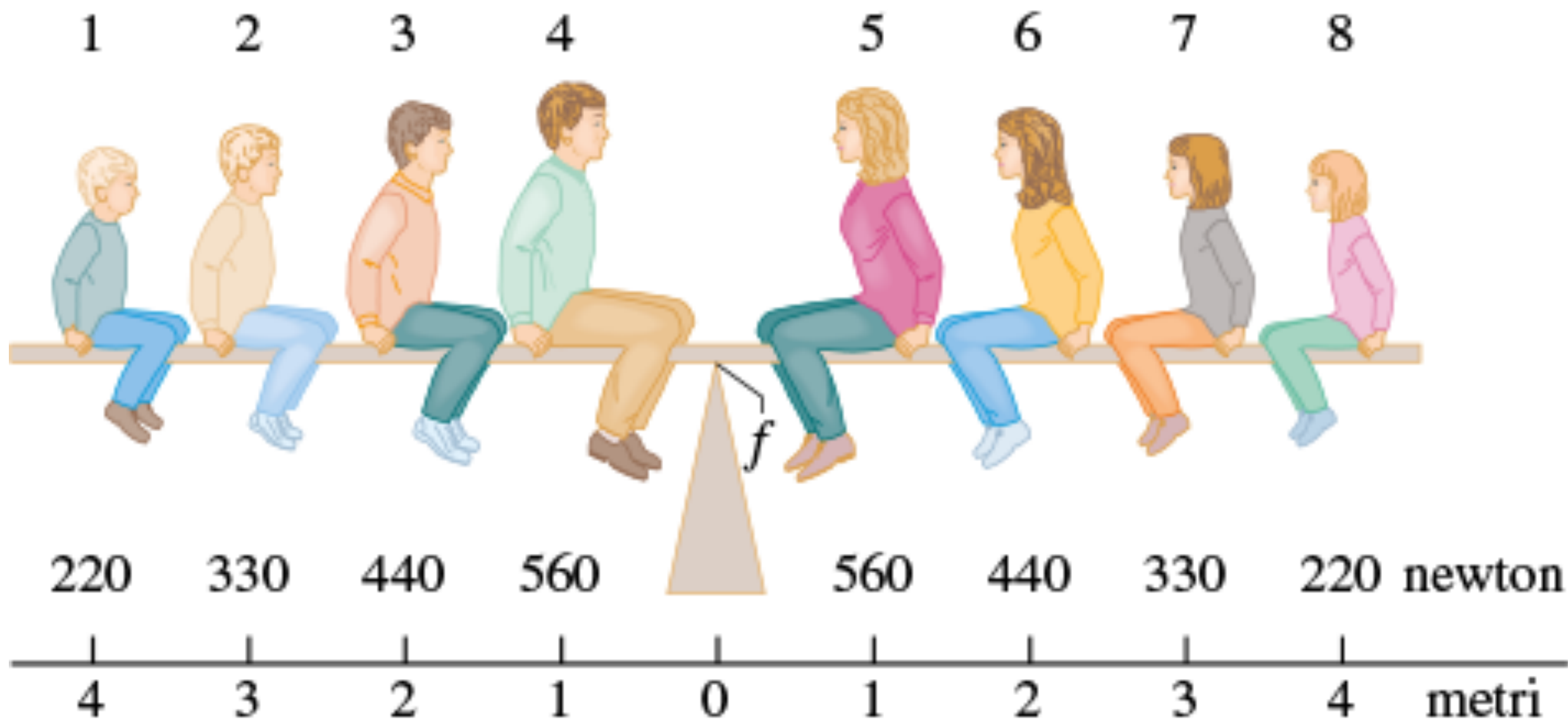
Barra	Forza	Area	Allungamento	Lunghezza iniziale
1	F	A	ΔL	L
2	$2F$	$2A$	$2\Delta L$	L
3	F	$2A$	$2\Delta L$	$2L$
4	$2F$	A	ΔL	$2L$

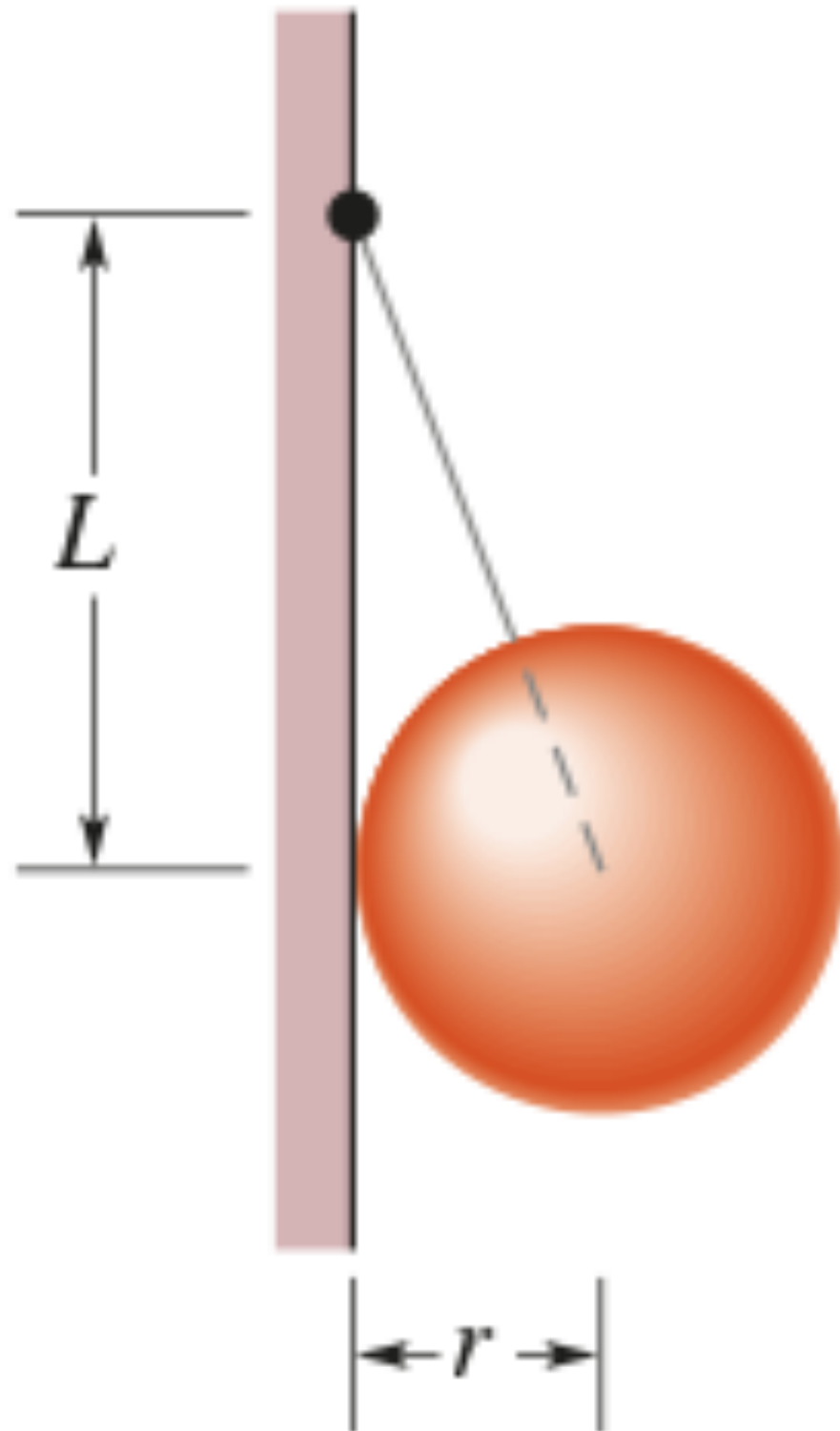
	Area	Forza
Superficie <i>A</i>	$0,5A_0$	$2F_0$
Superficie <i>B</i>	$2A_0$	$4F_0$
Superficie <i>C</i>	$3A_0$	$6F_0$

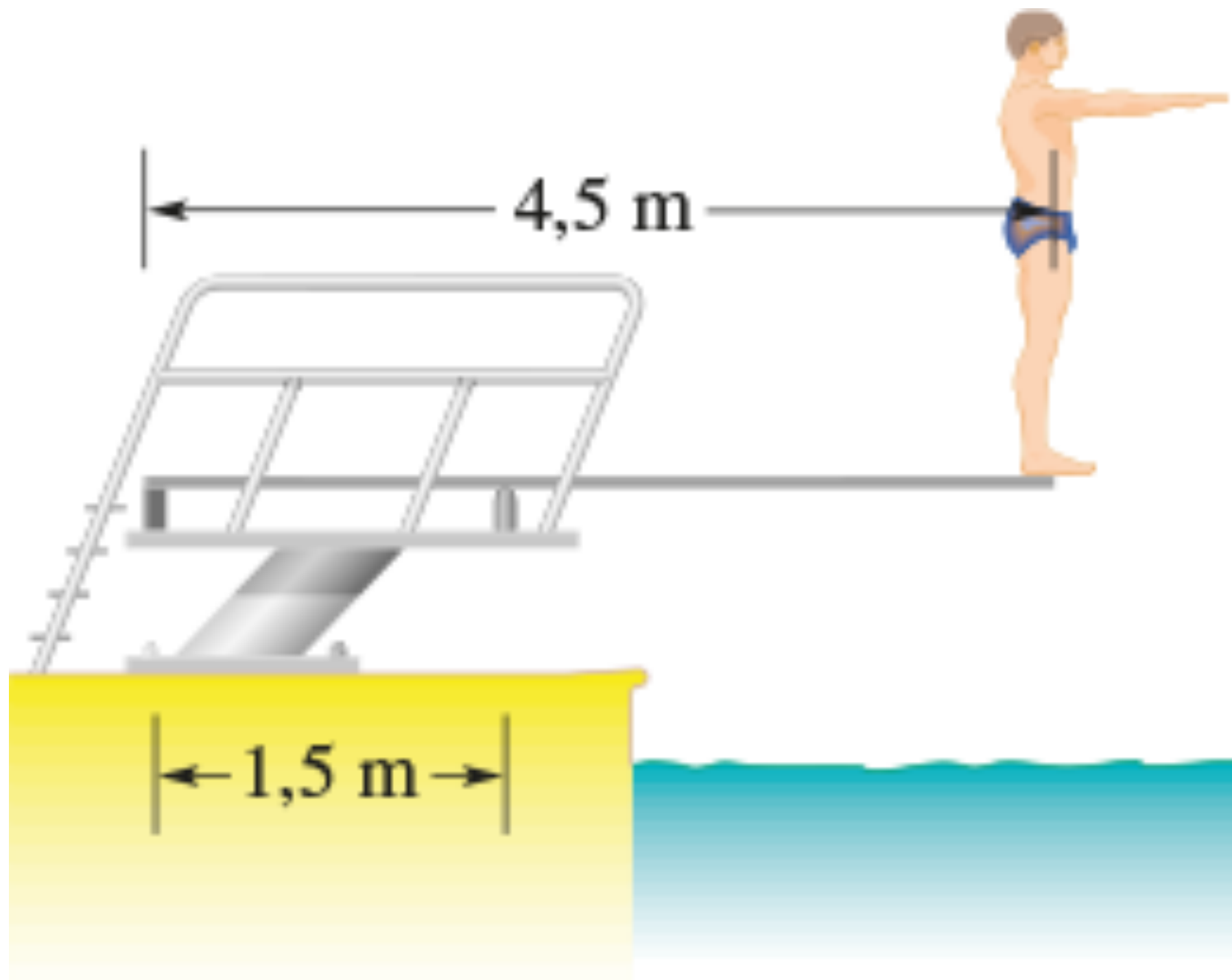
	Lunghezza iniziale	Allungamento
Barra <i>A</i>	$2L_0$	ΔL_0
Barra <i>B</i>	$4L_0$	$2\Delta L_0$
Barra <i>C</i>	$10L_0$	$4\Delta L_0$

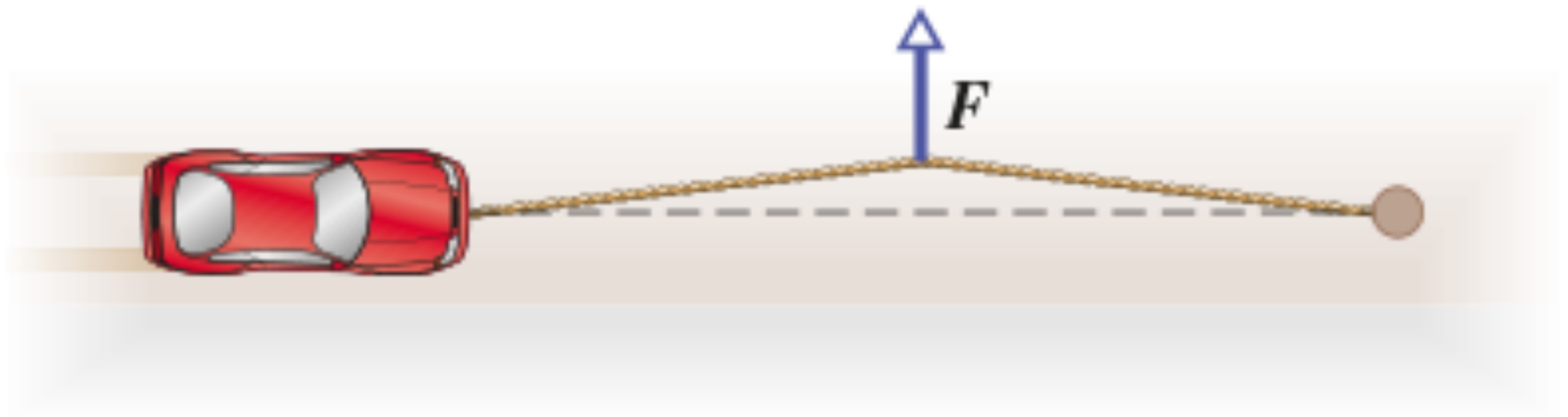
Particella	g	Particella	g
1	8,00	4	7,40
2	7,80	5	7,60
3	7,60	6	7,80

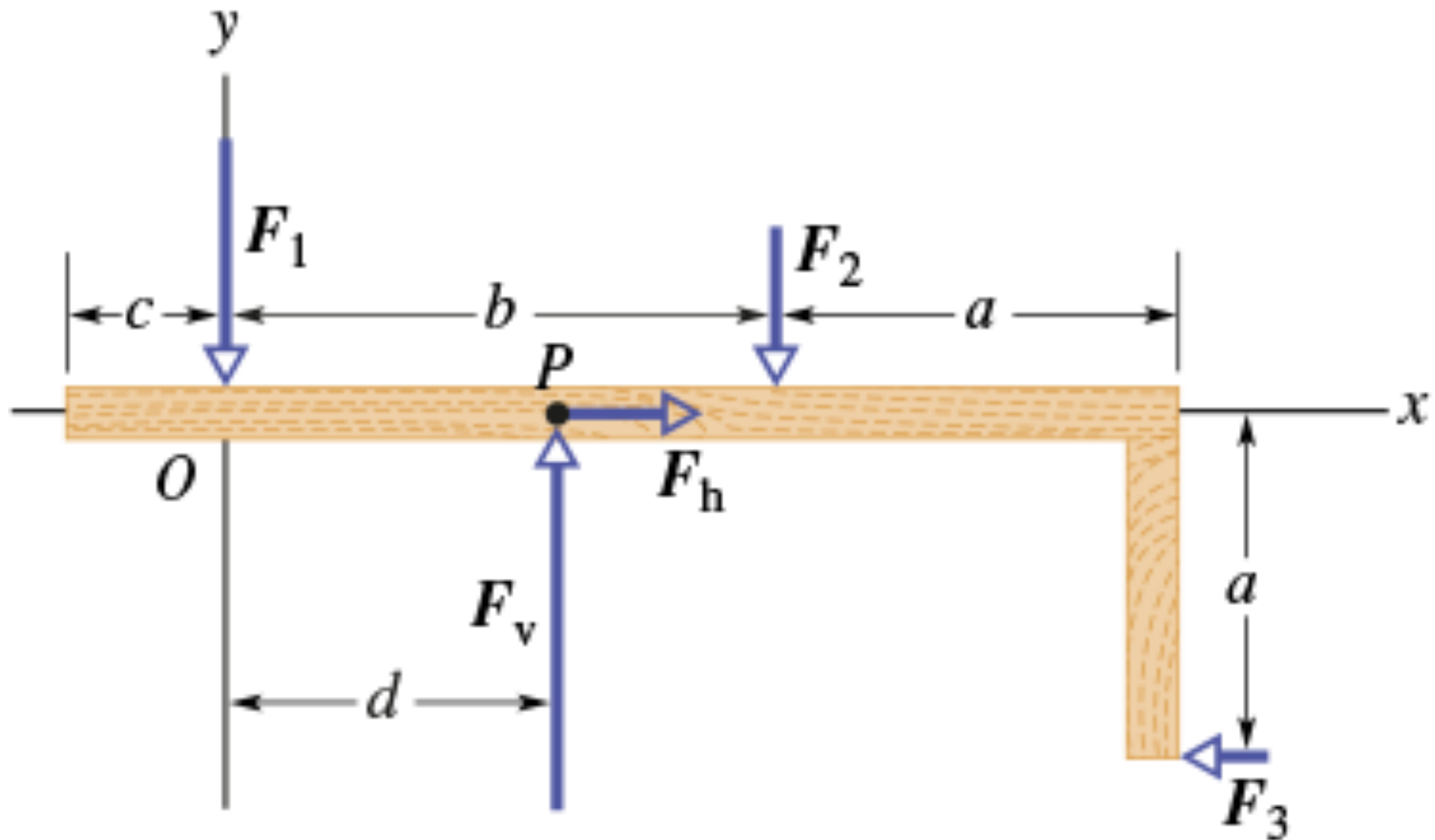


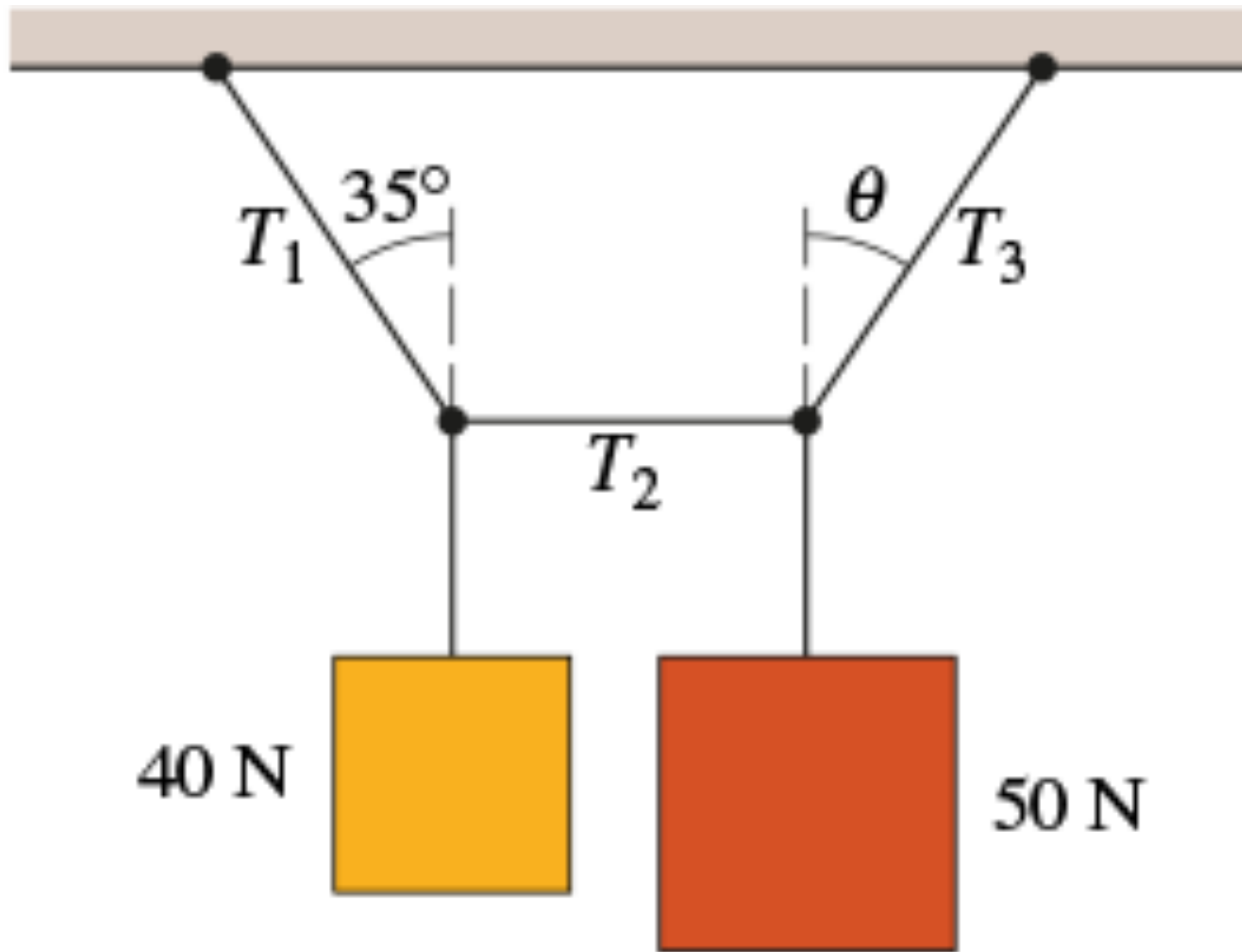




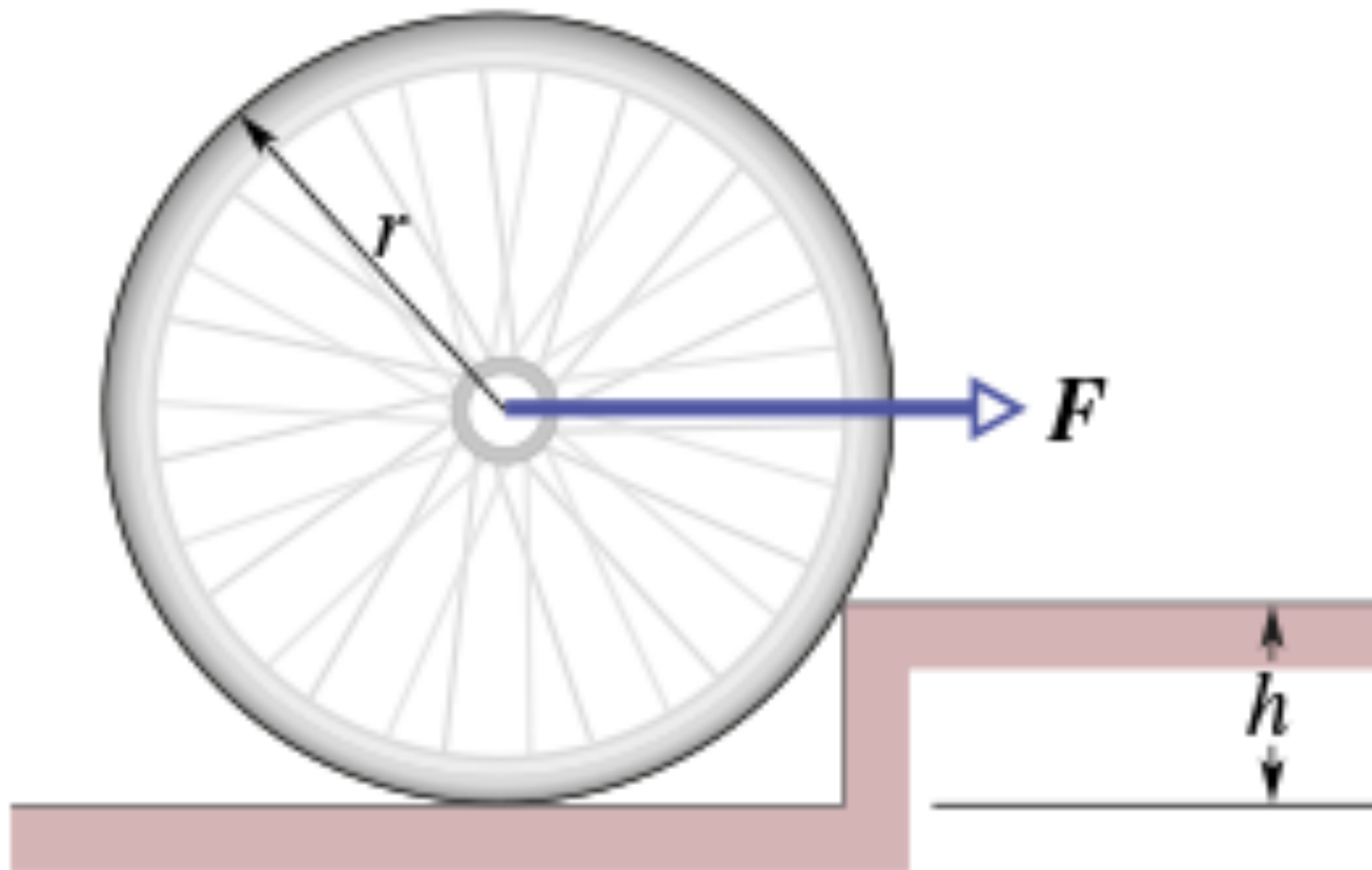


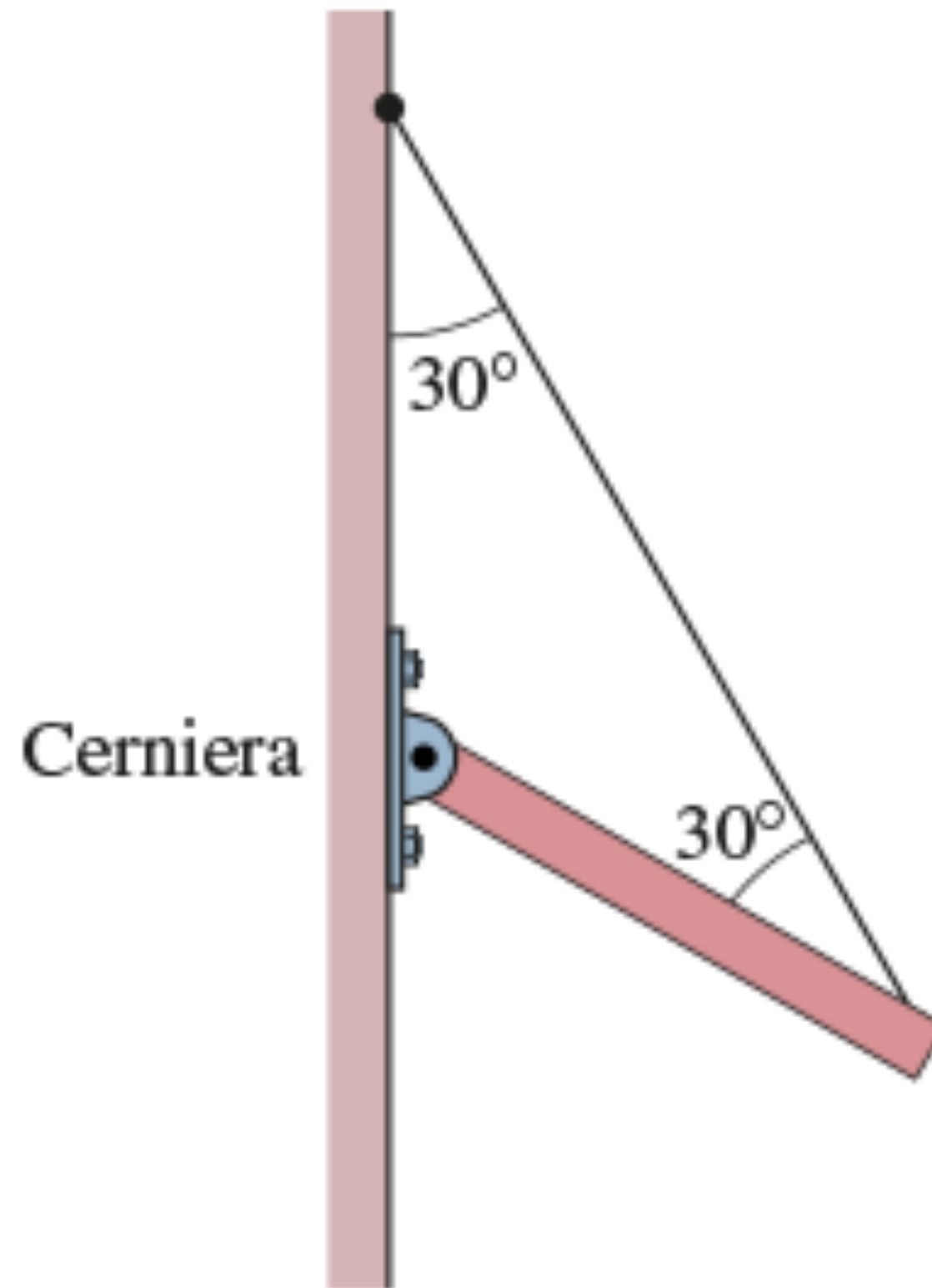


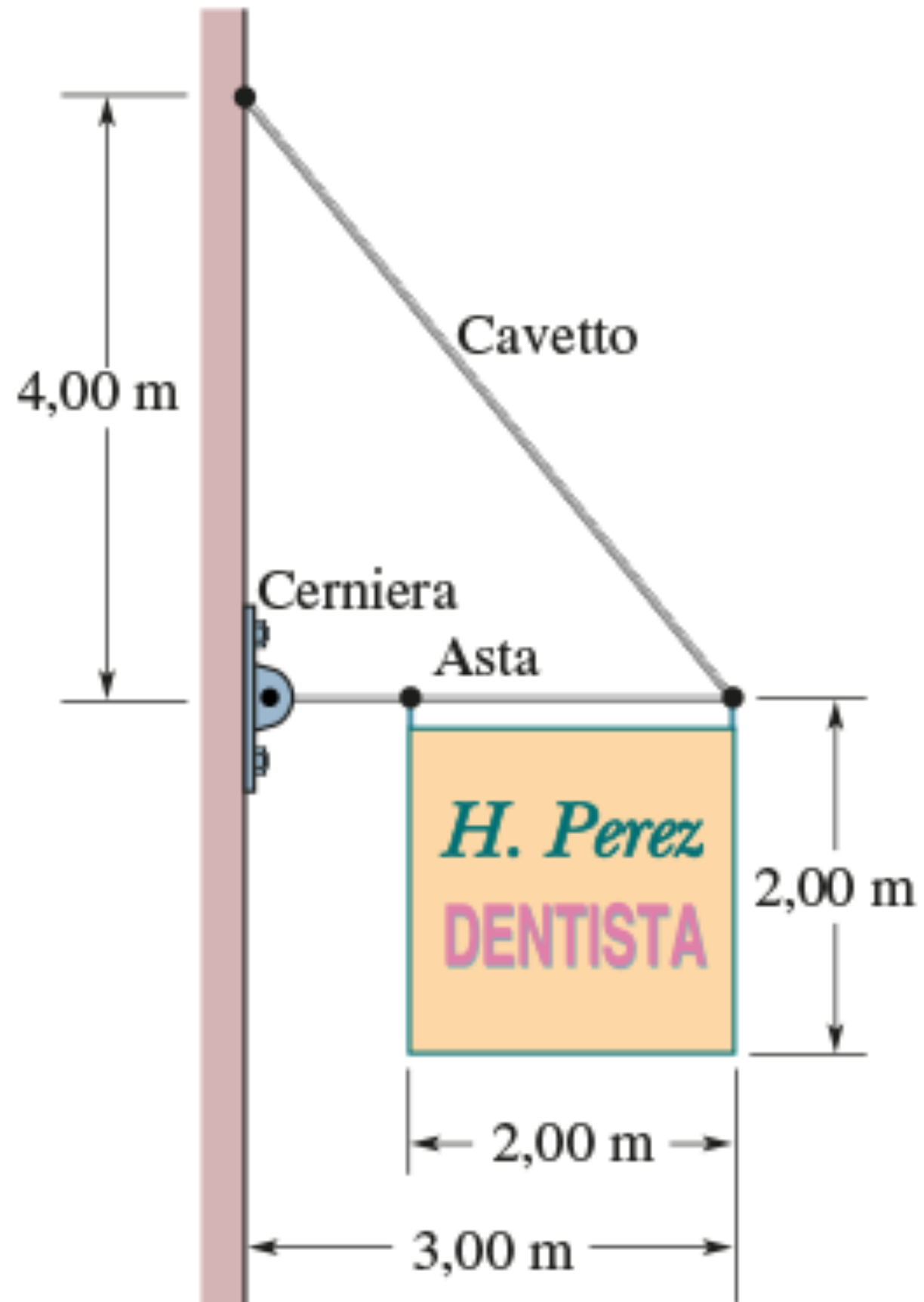


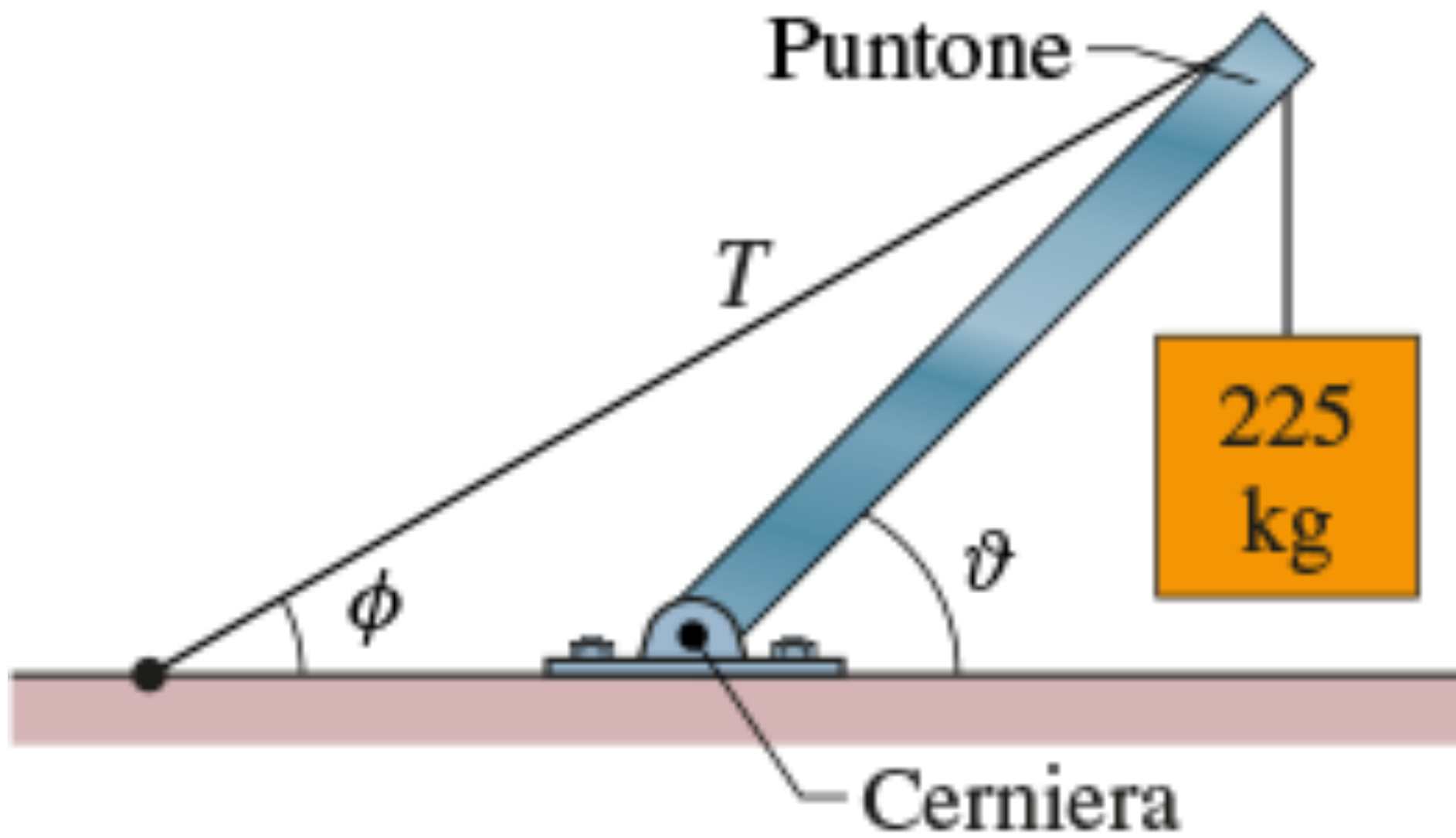


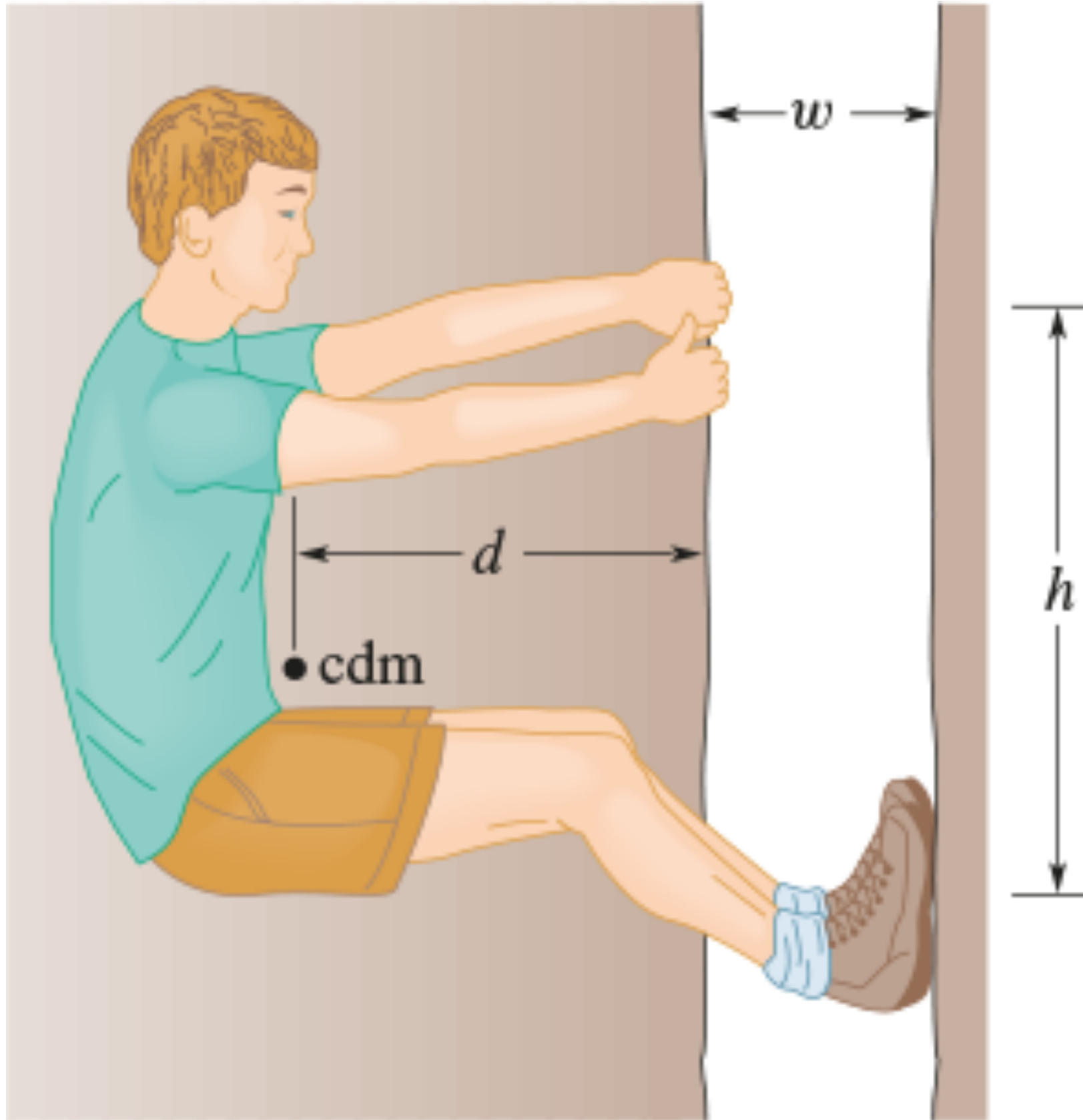


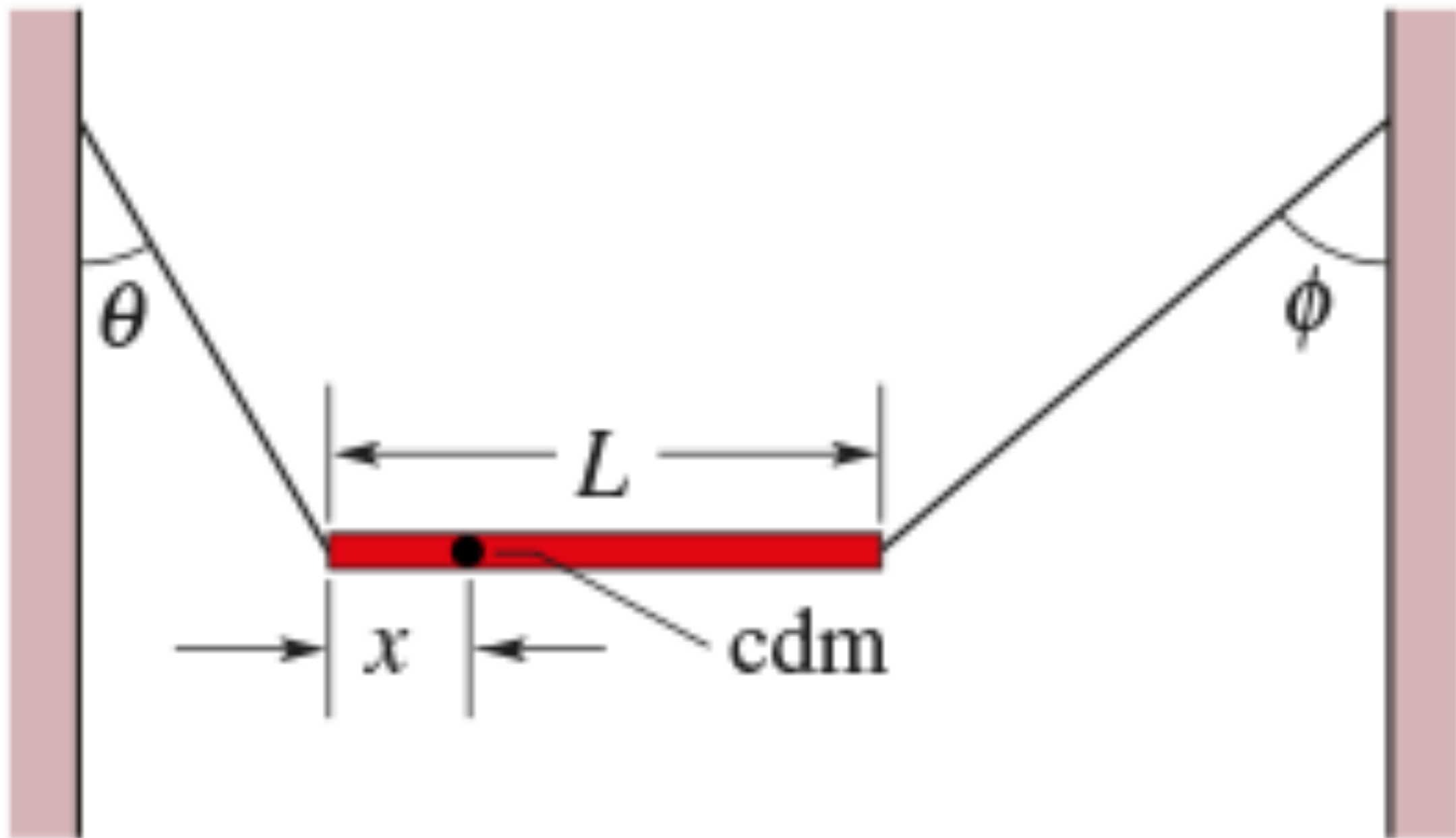


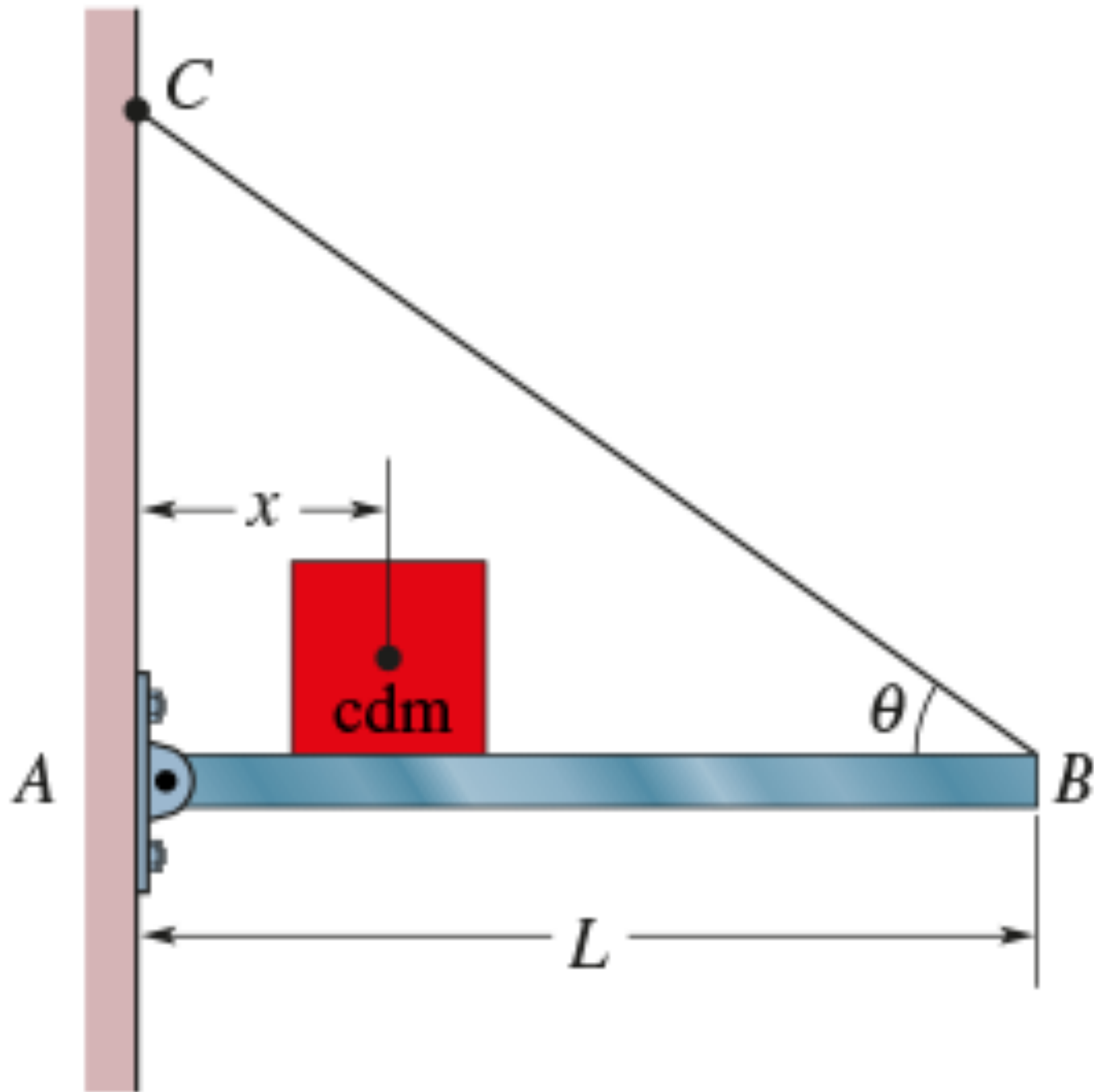


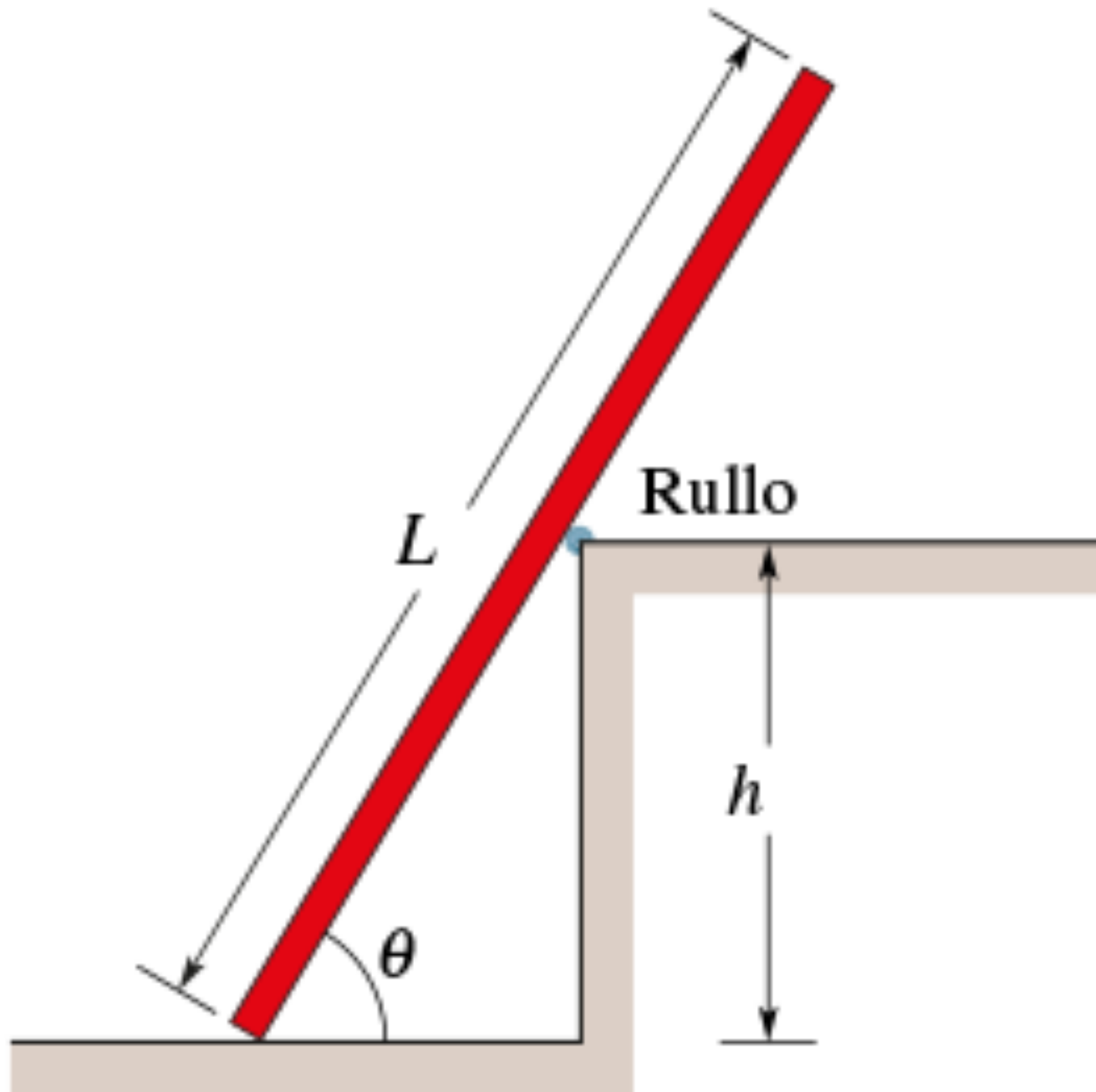


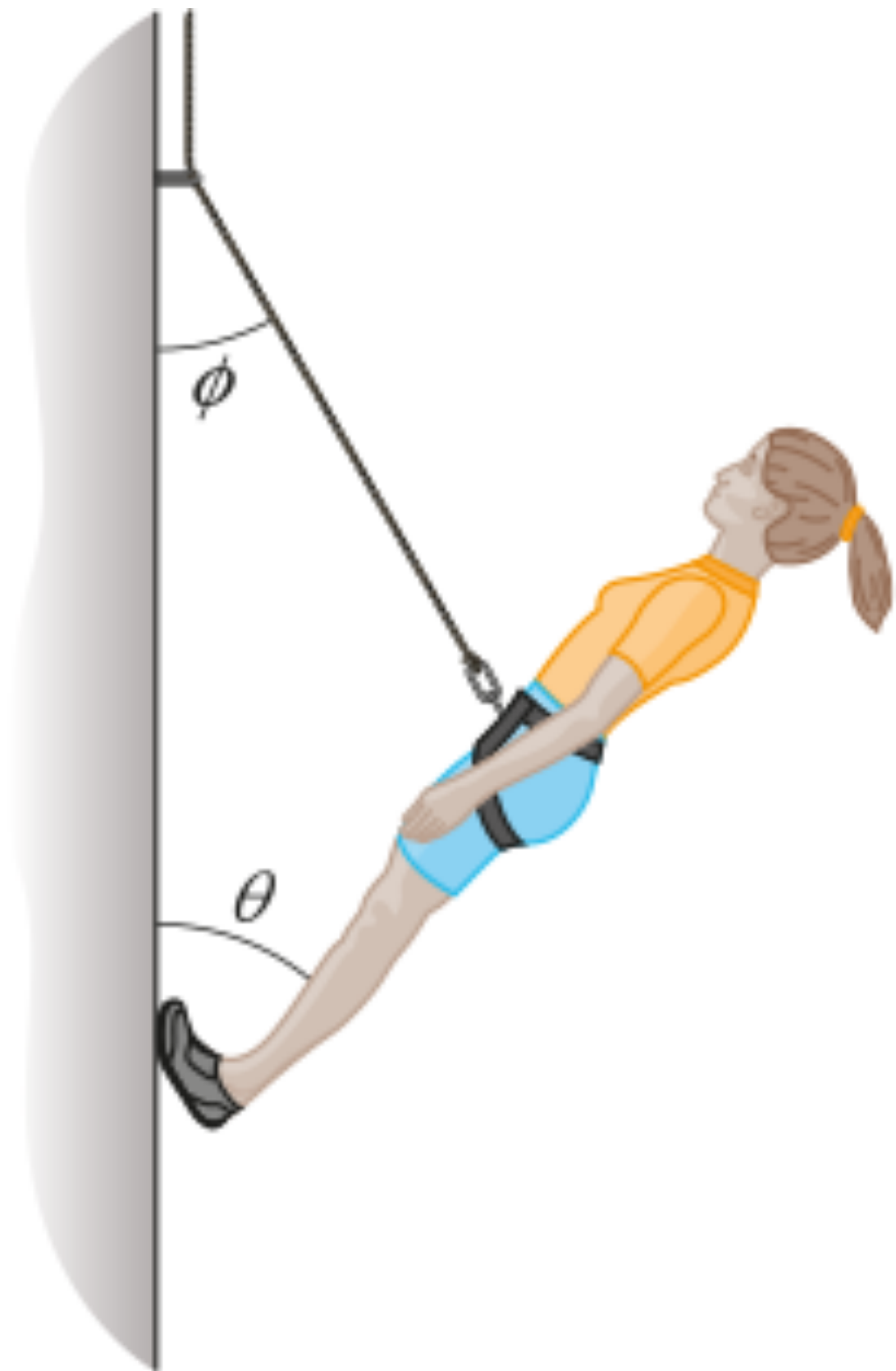


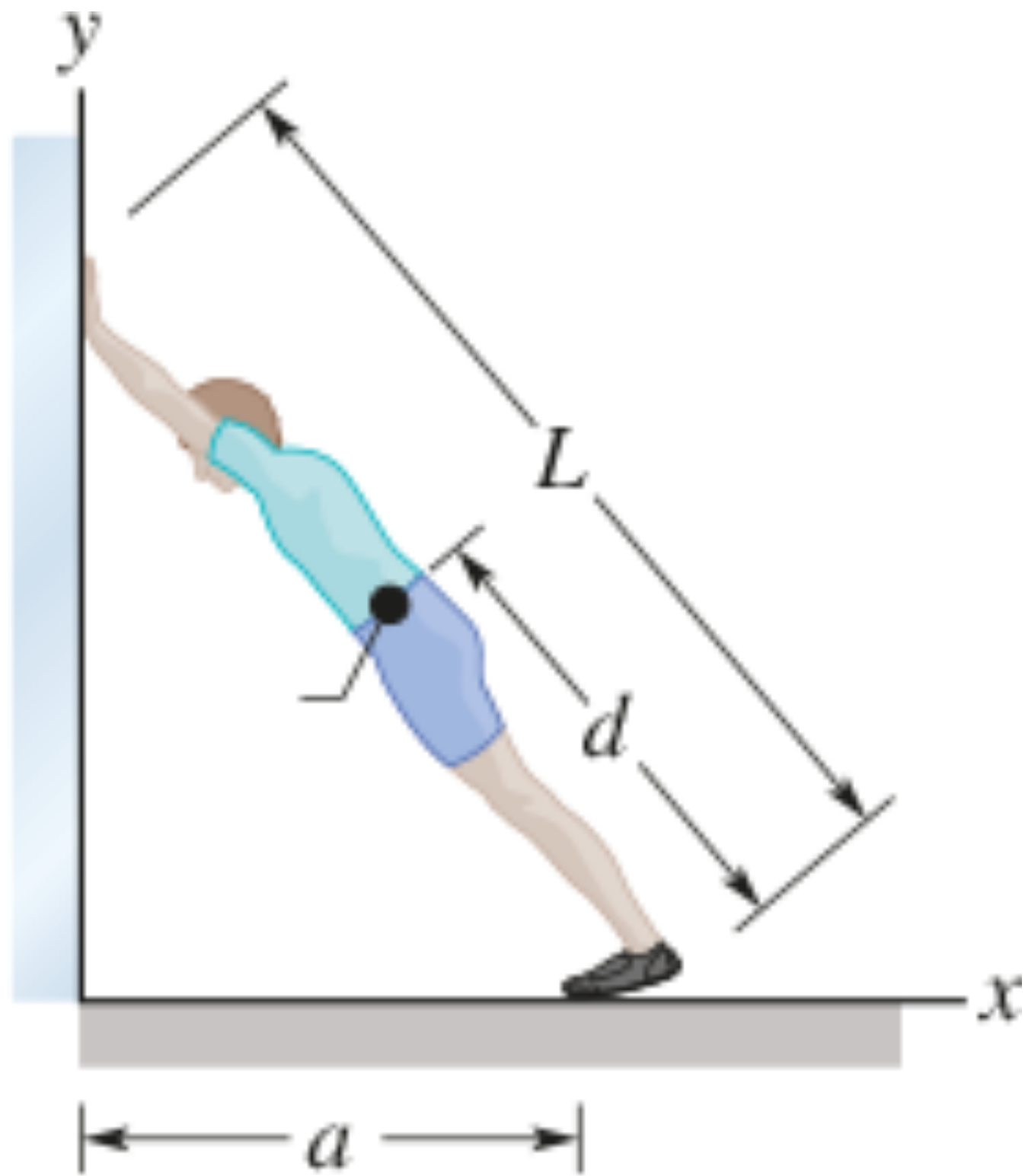


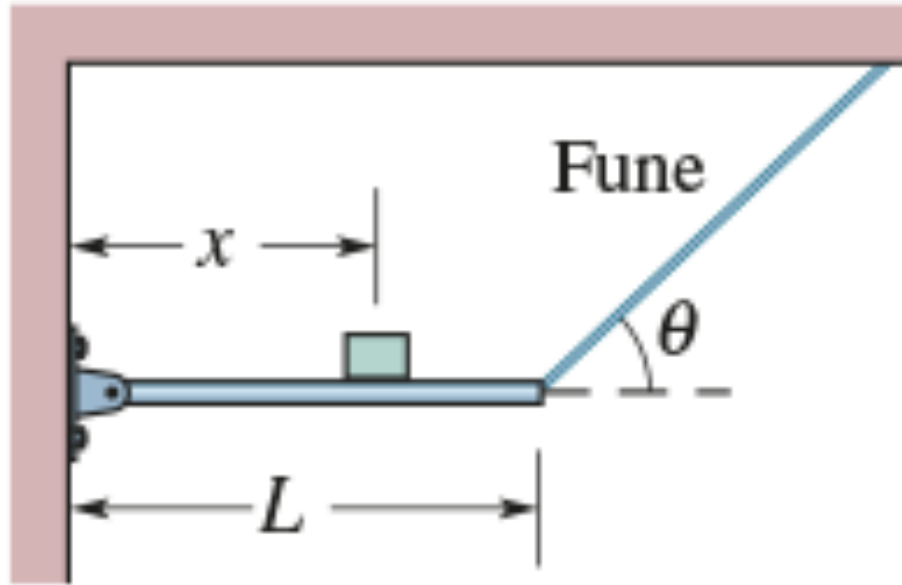




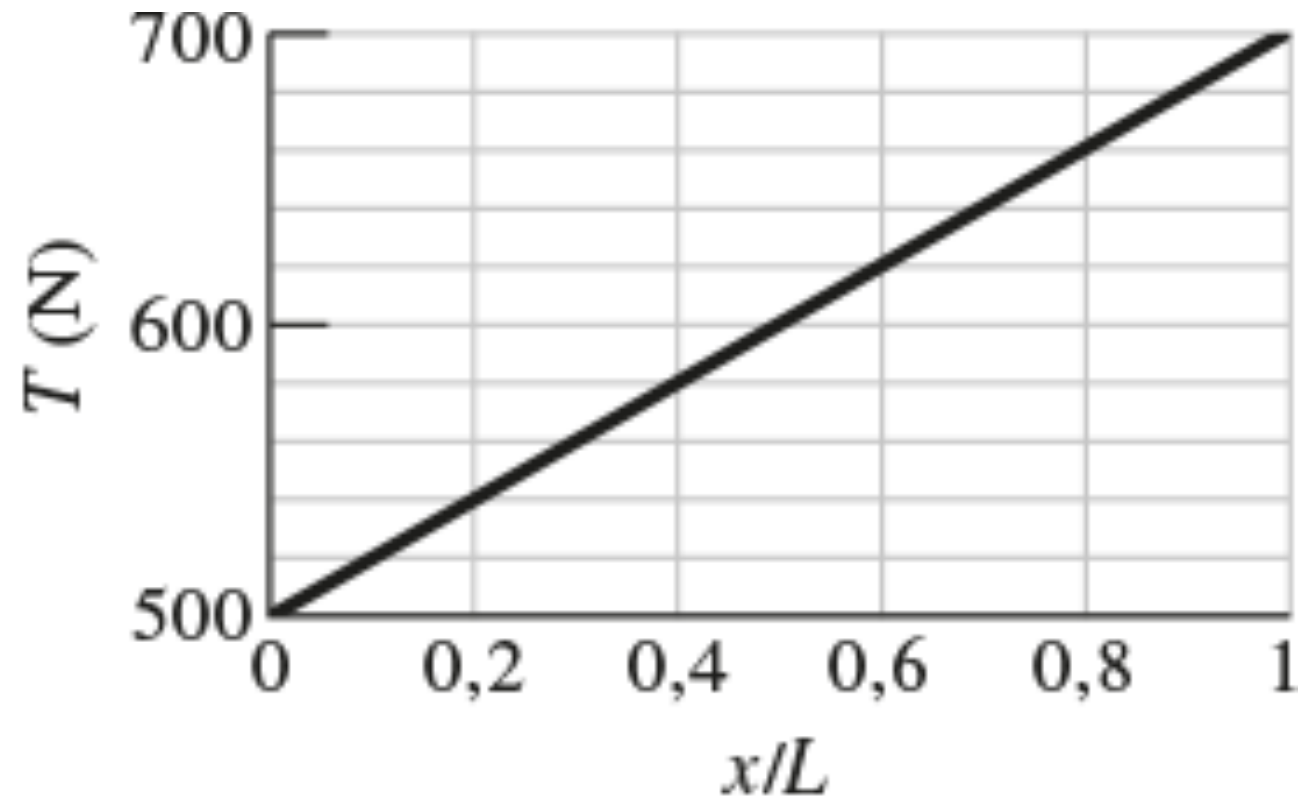




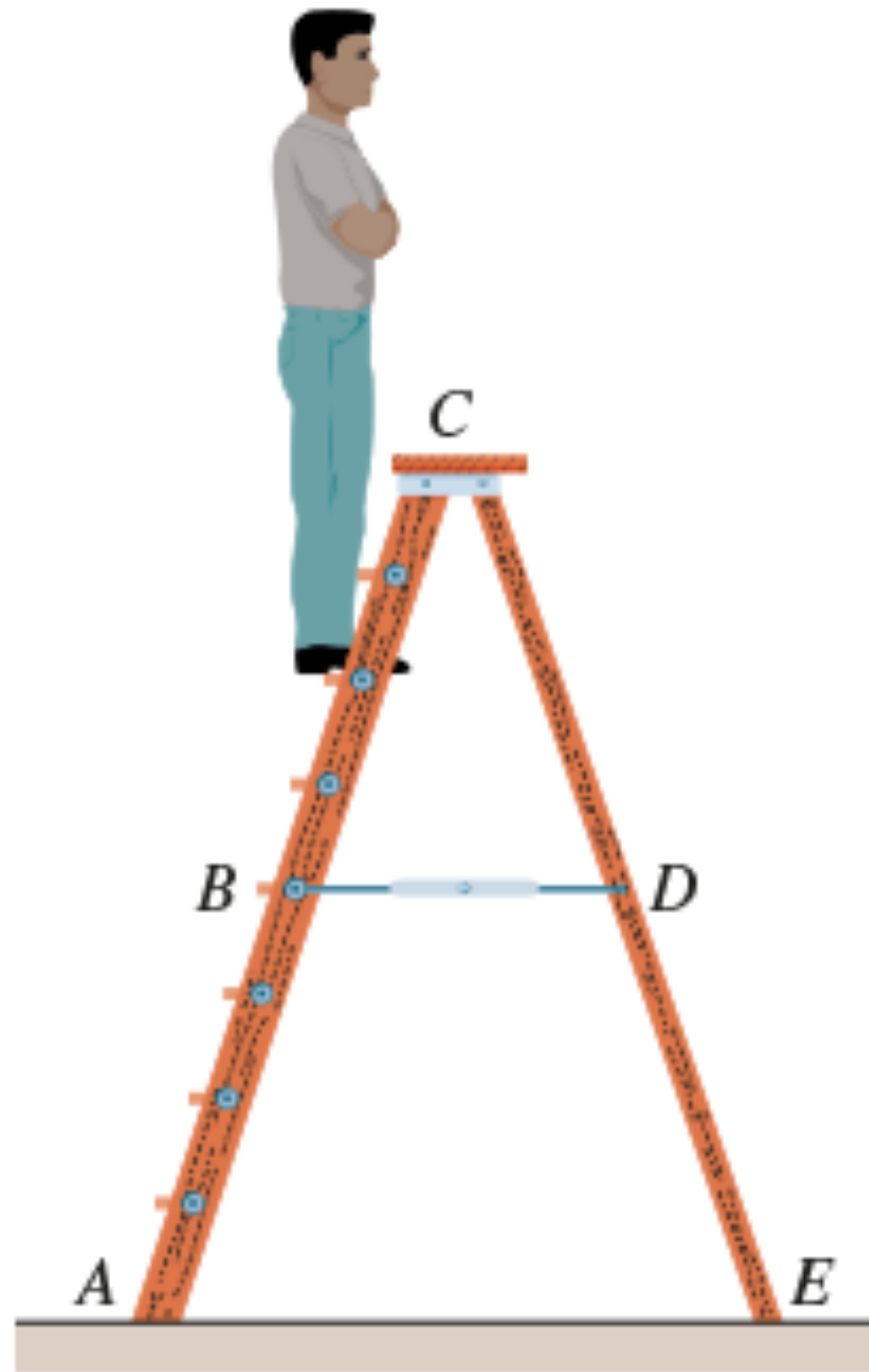


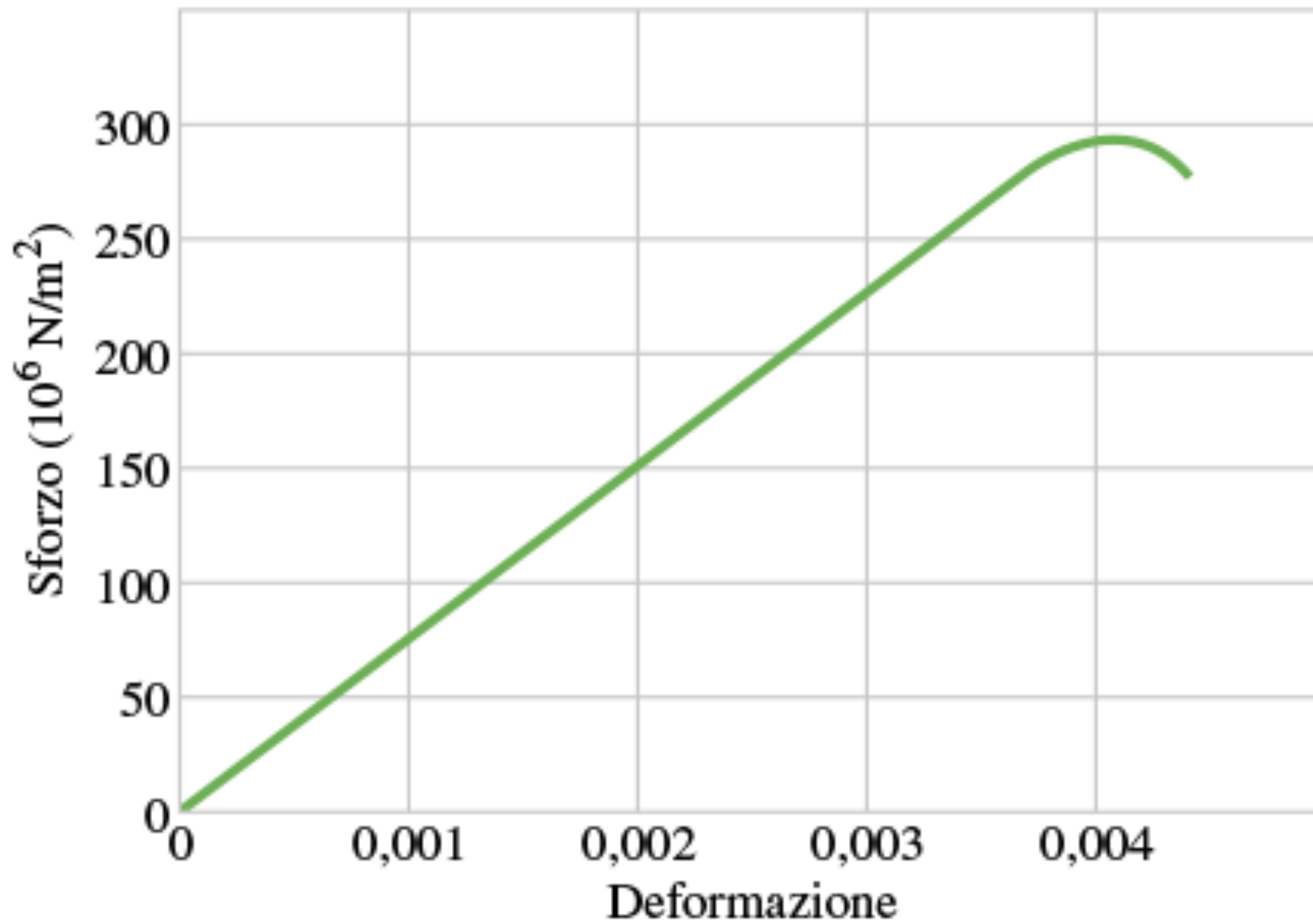


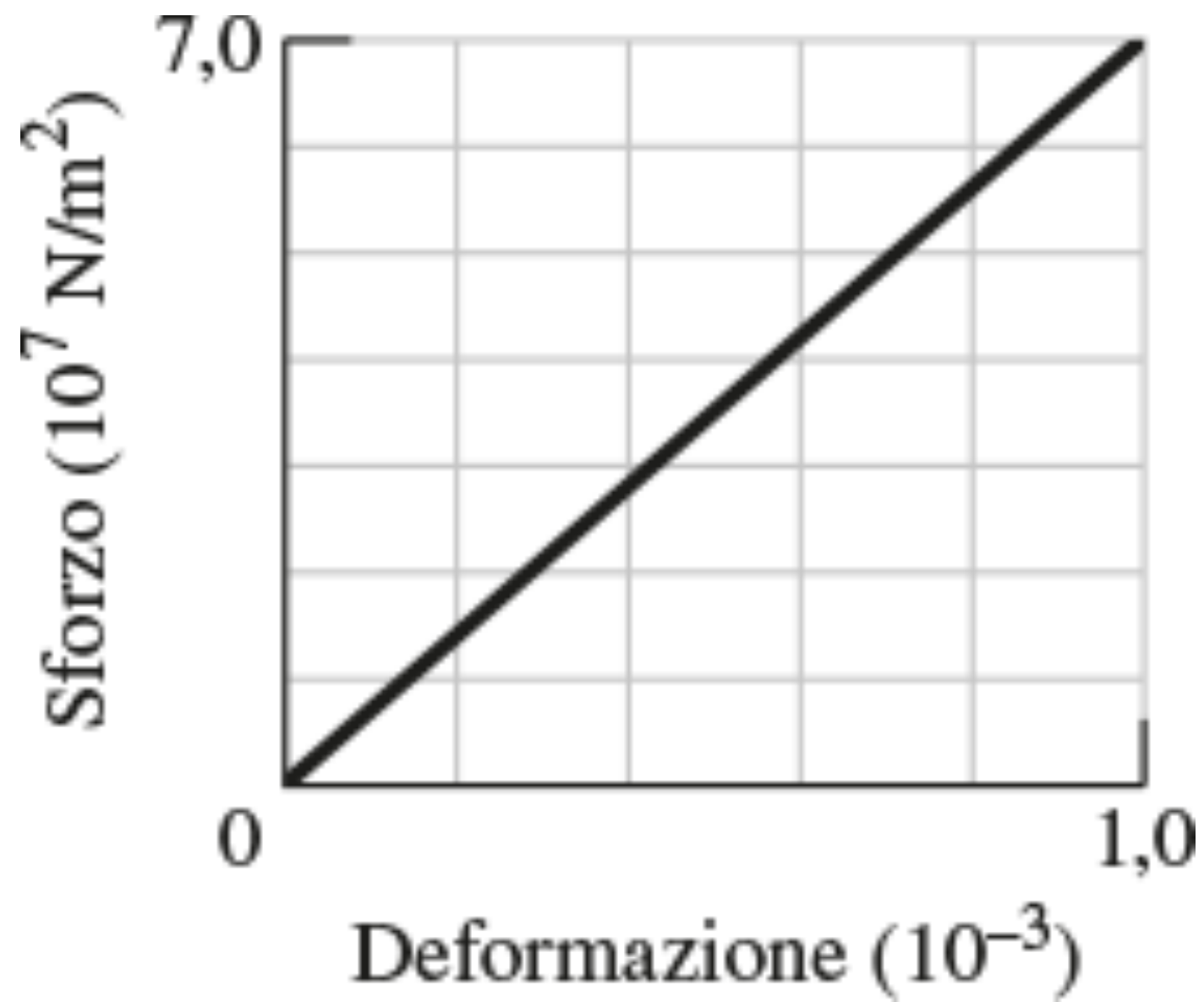
(a)

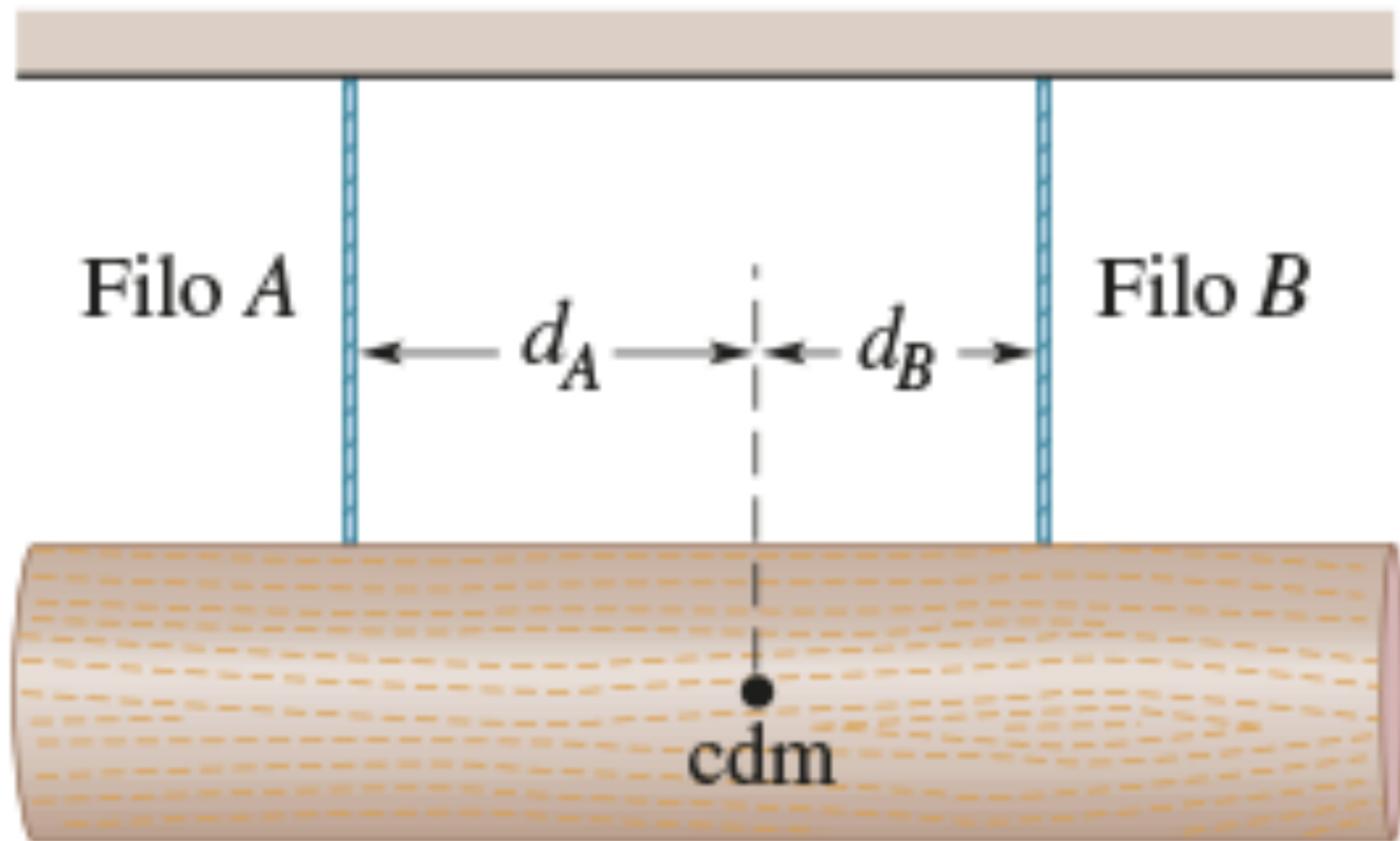


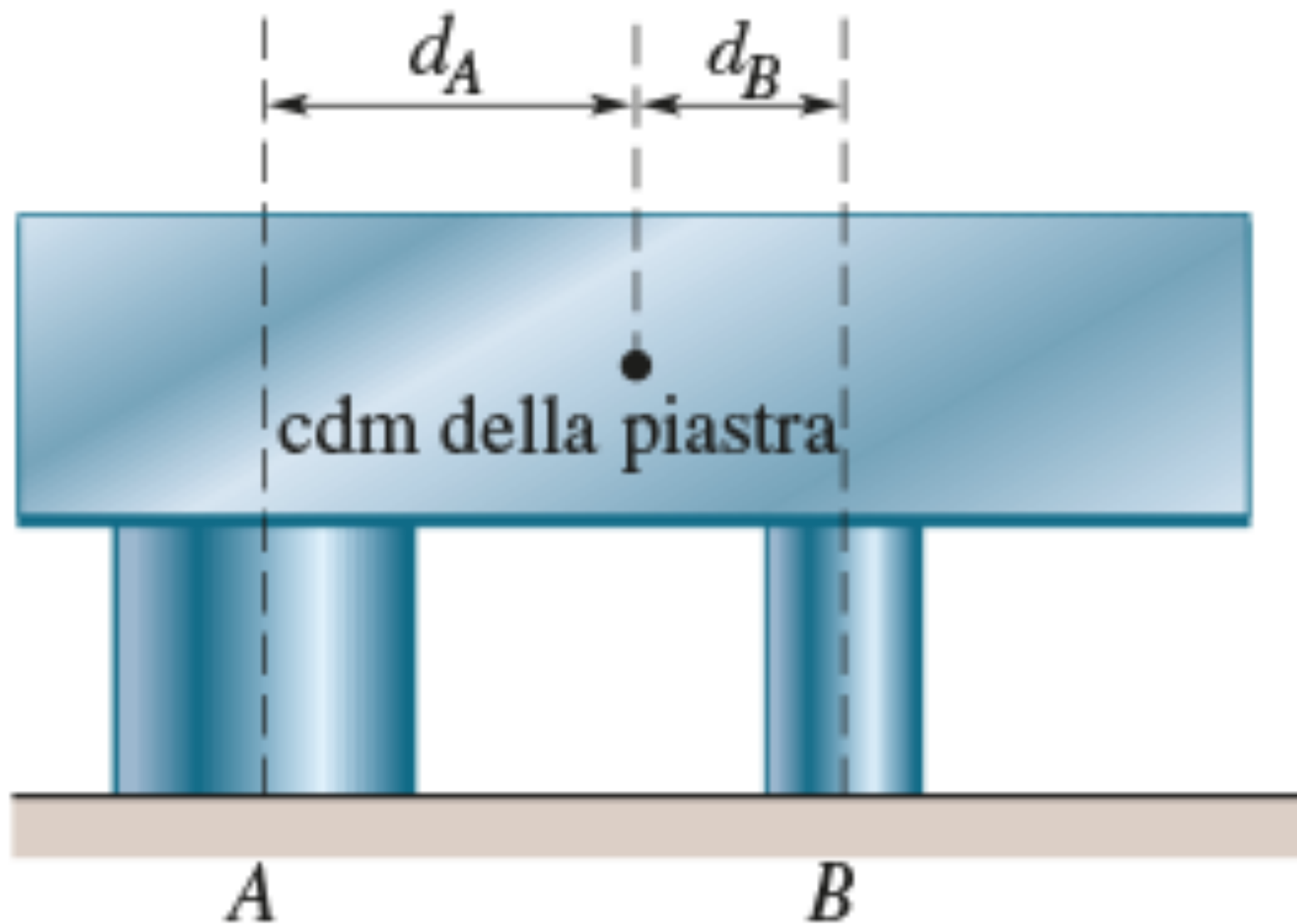
(b)

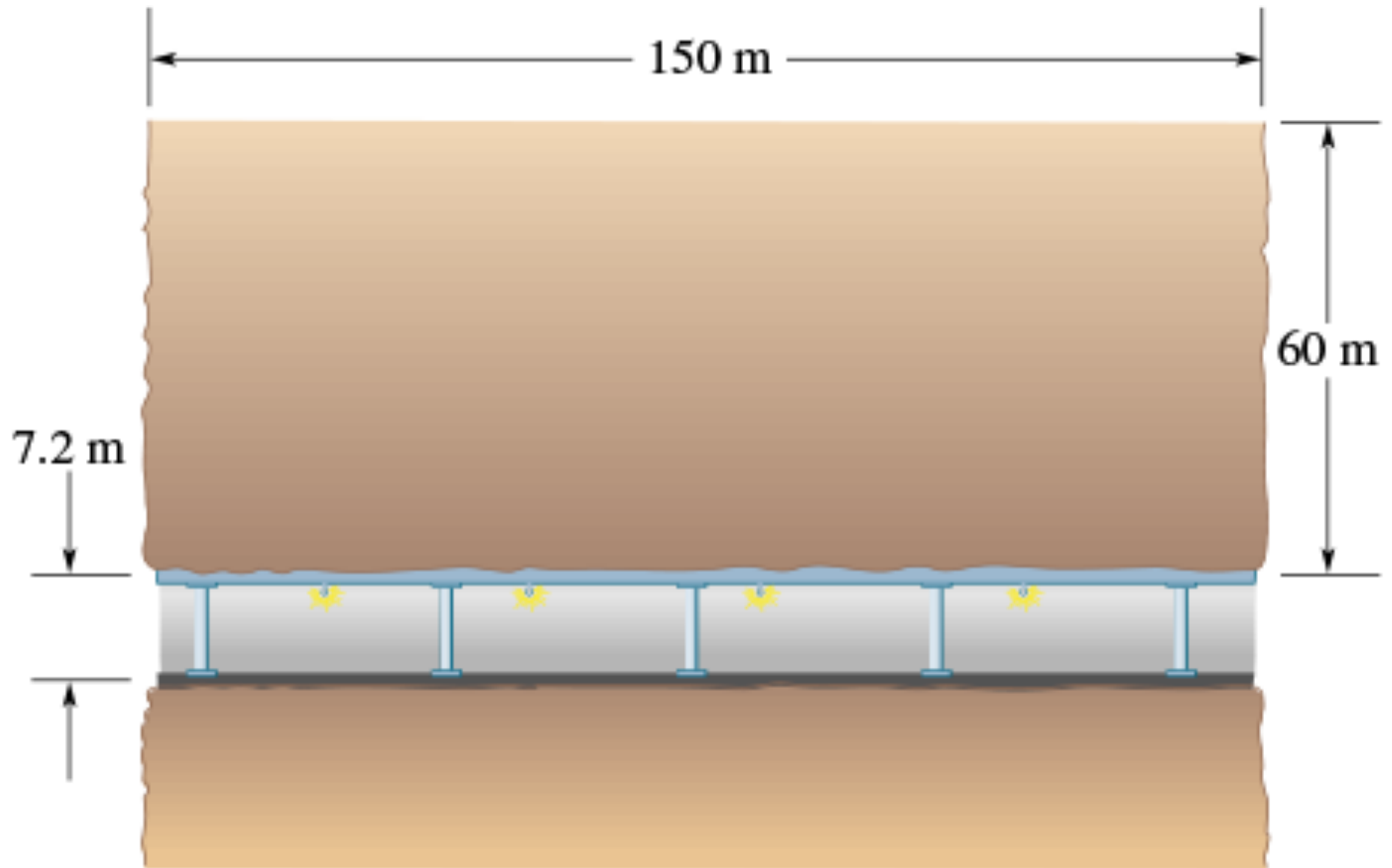


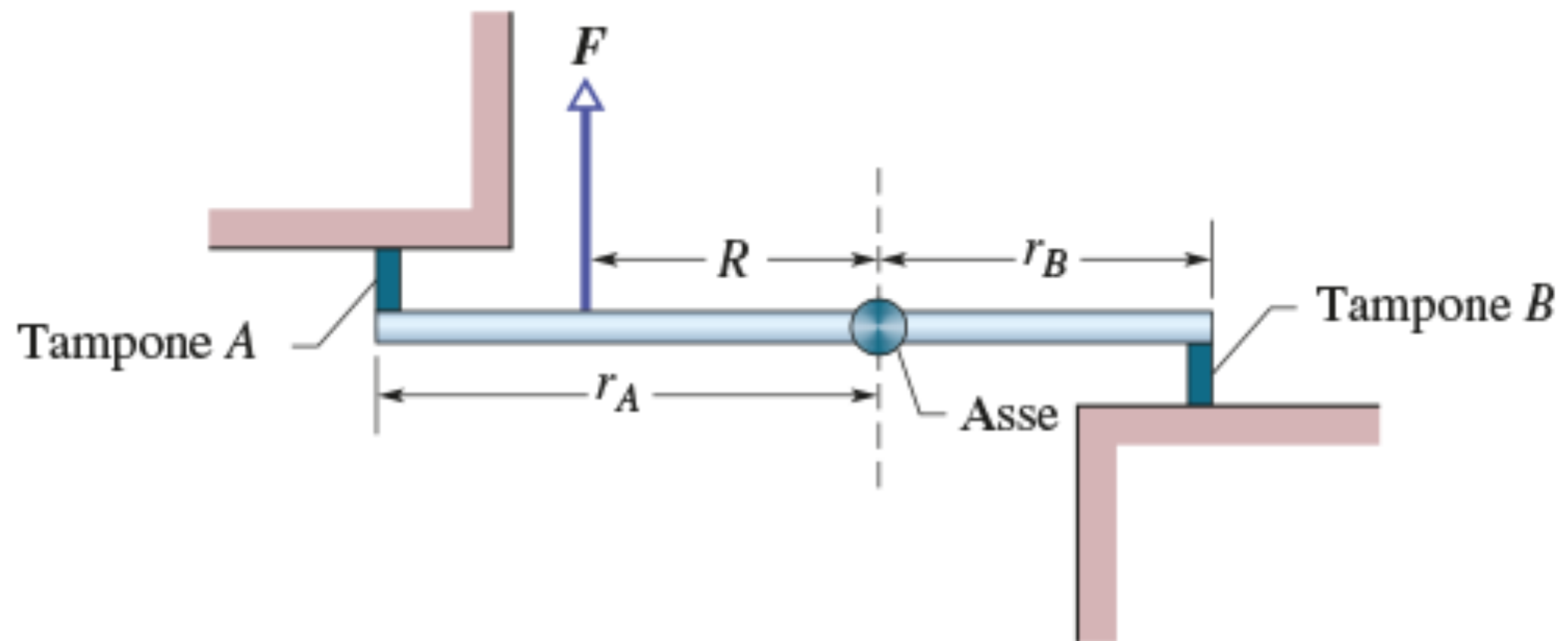


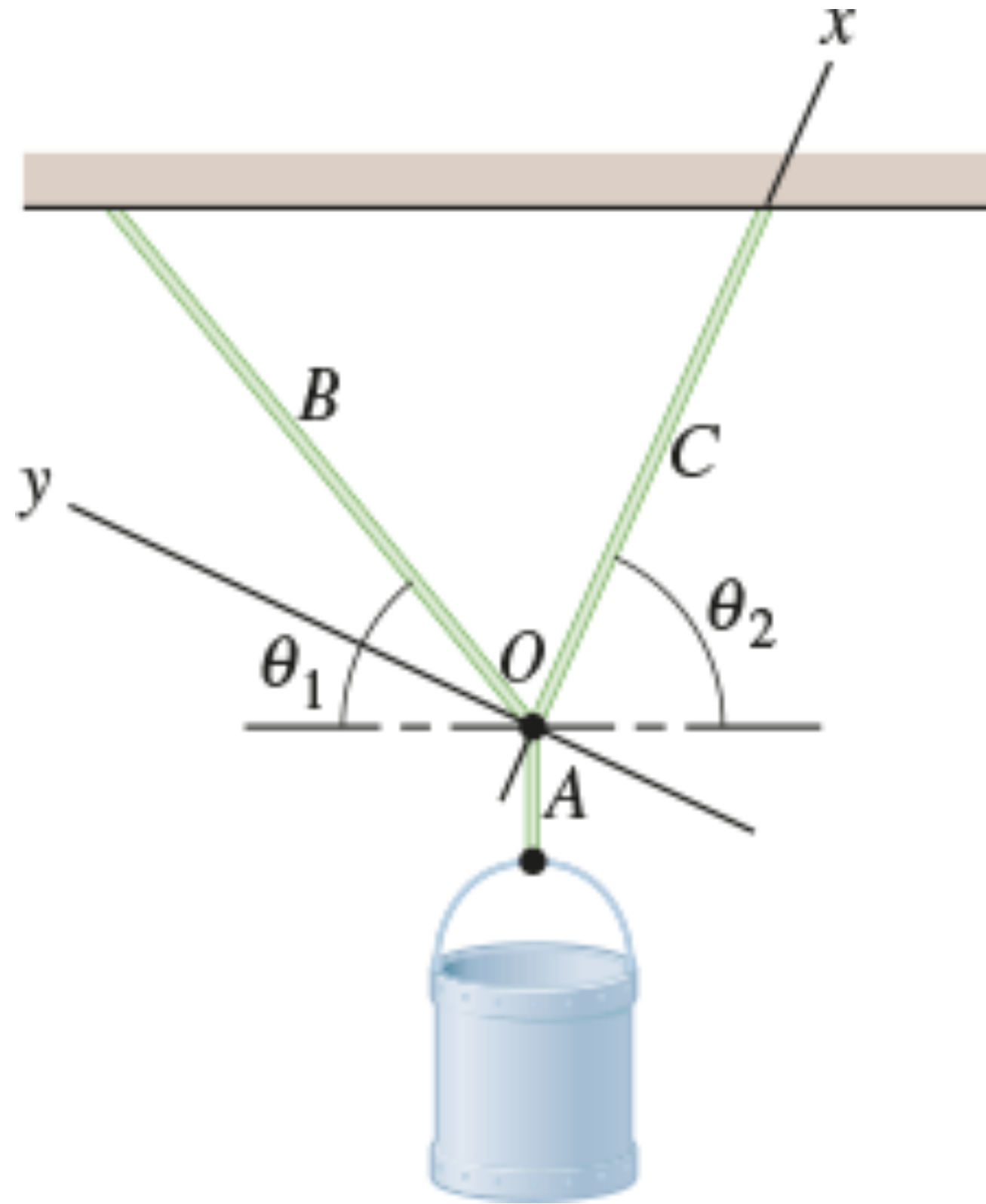


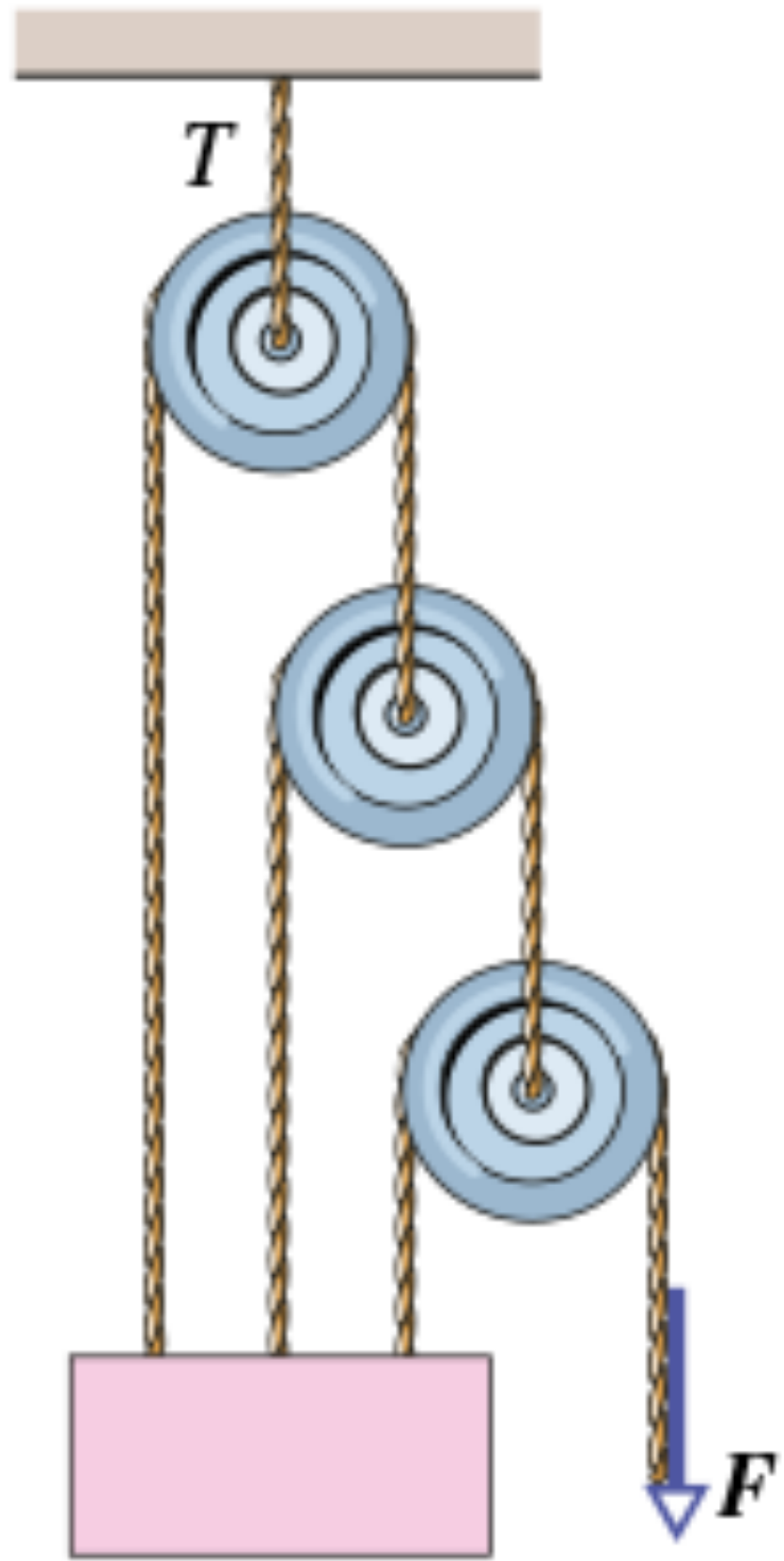


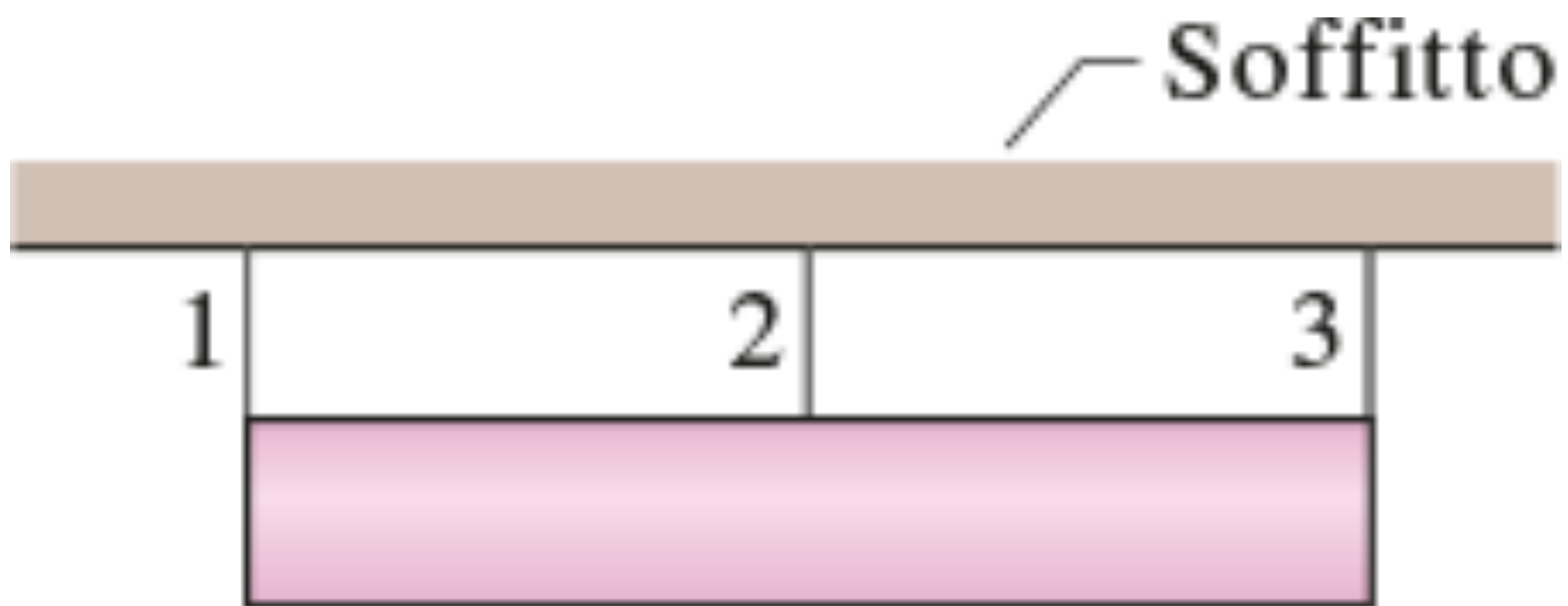


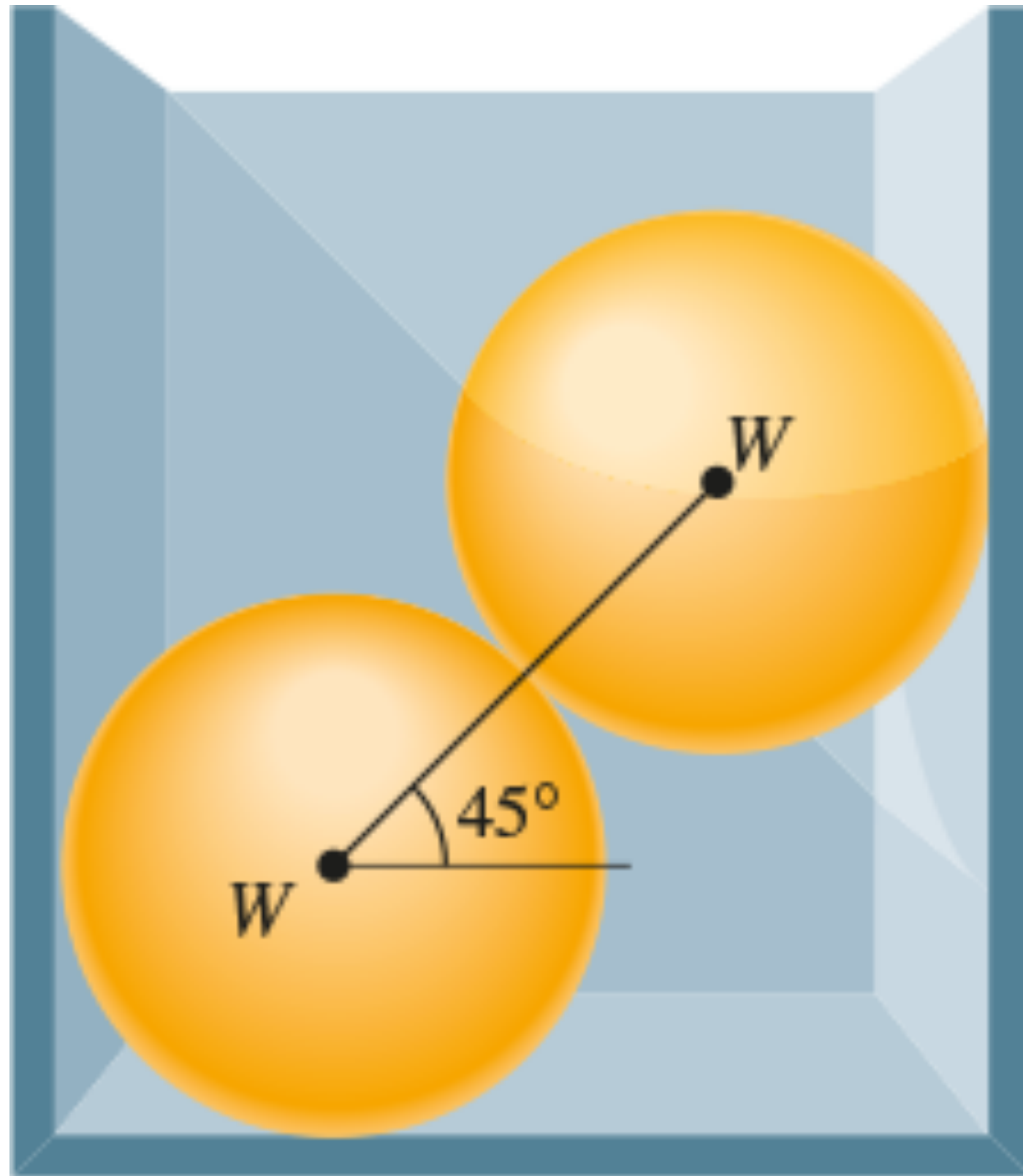


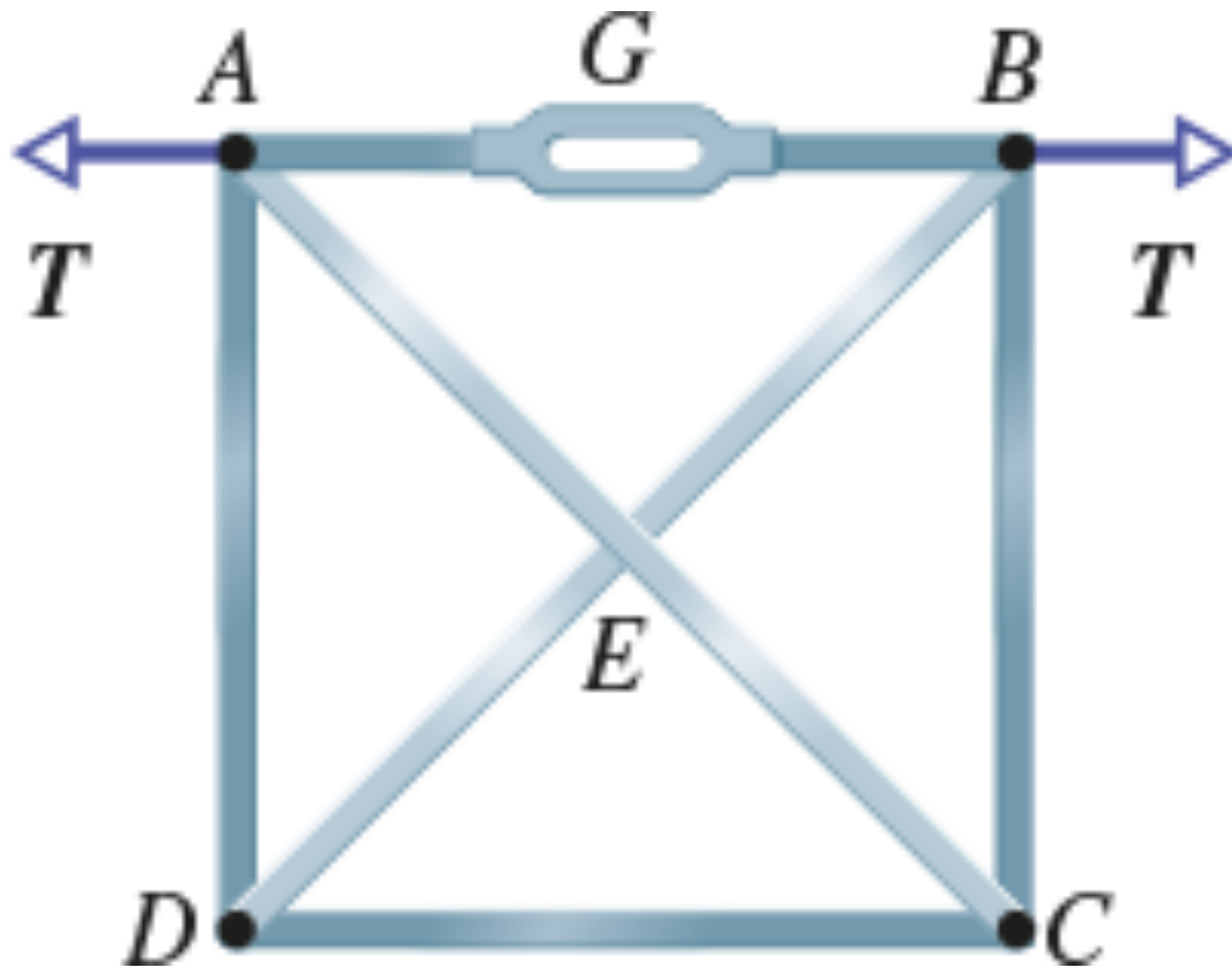


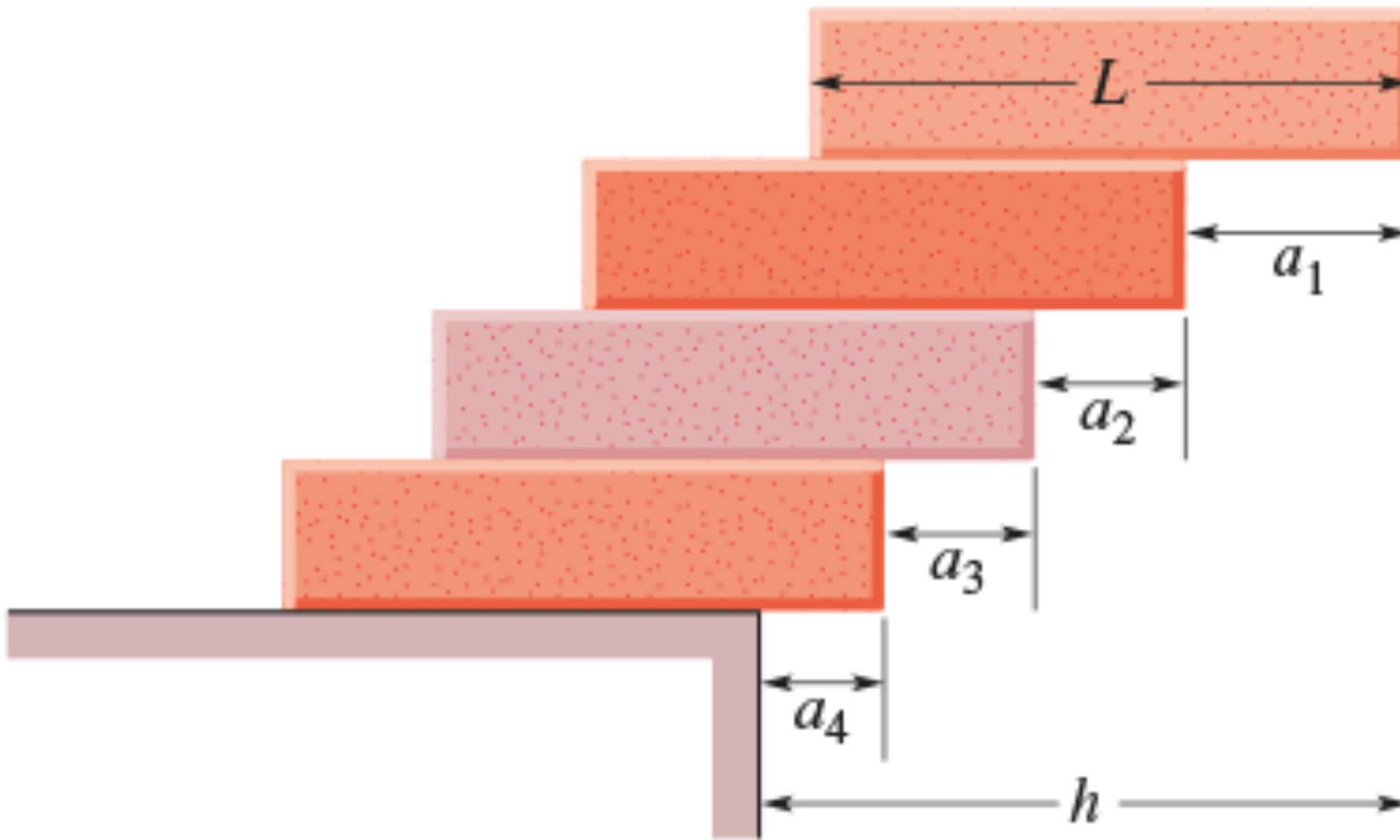


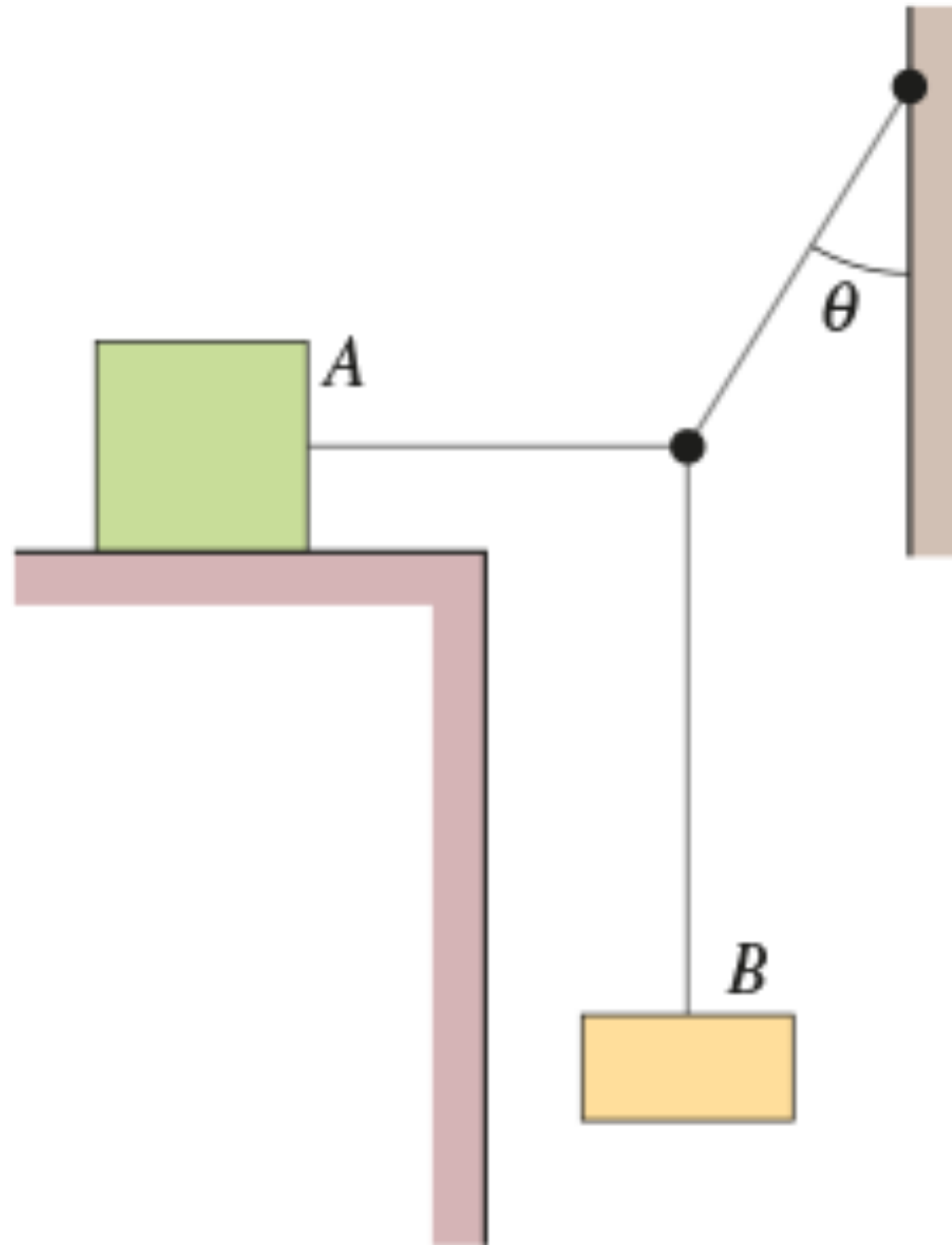


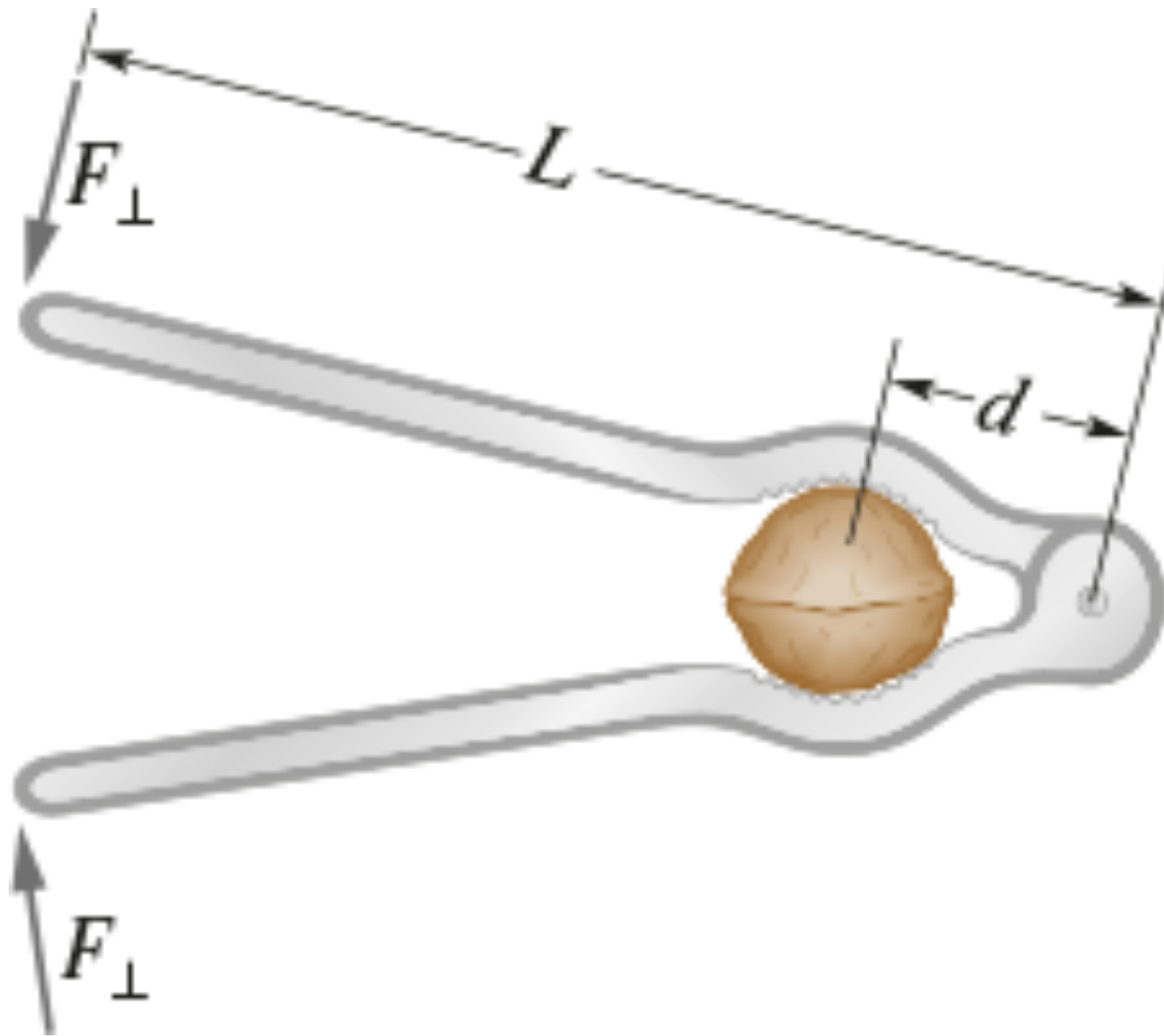


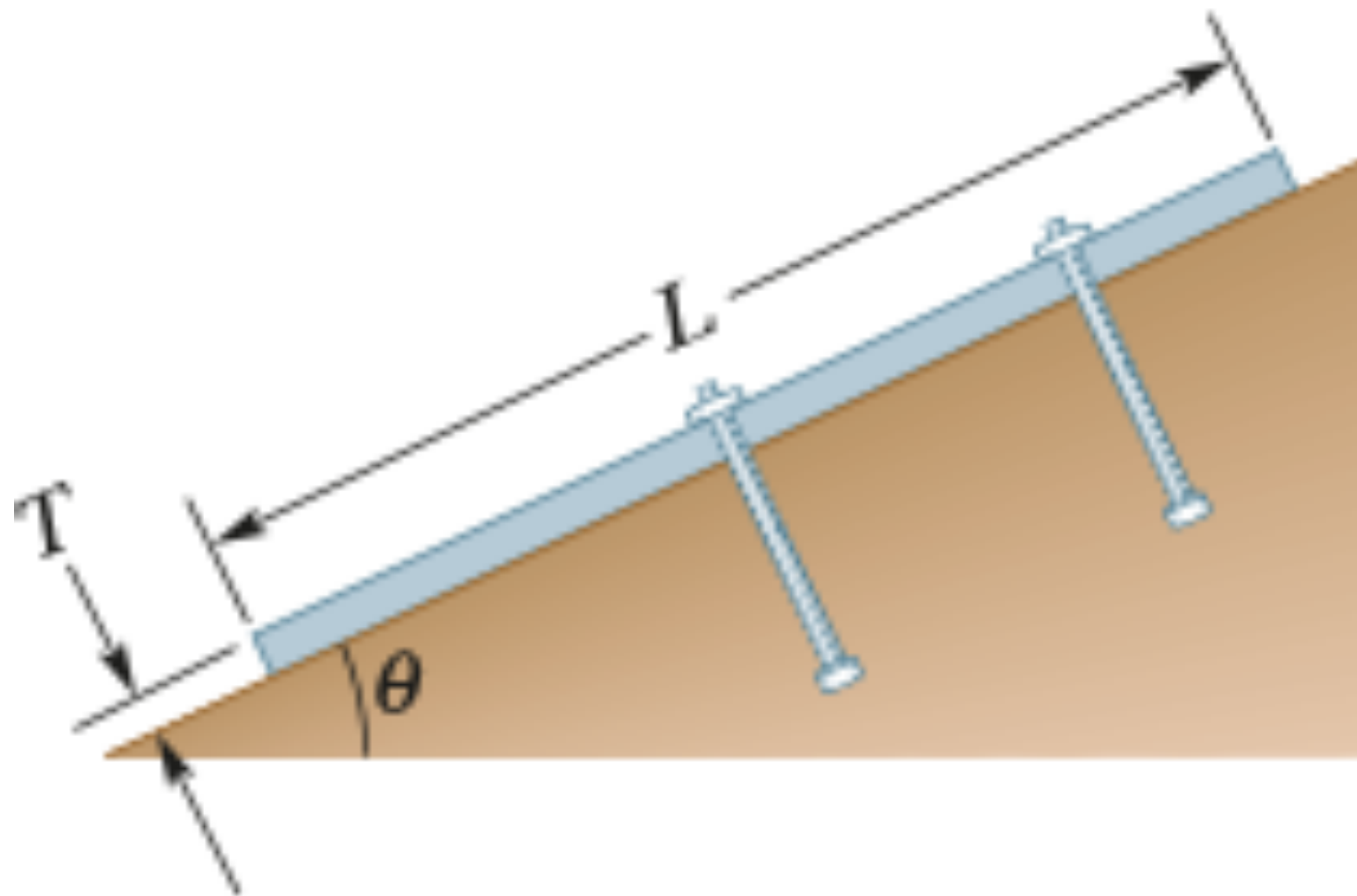


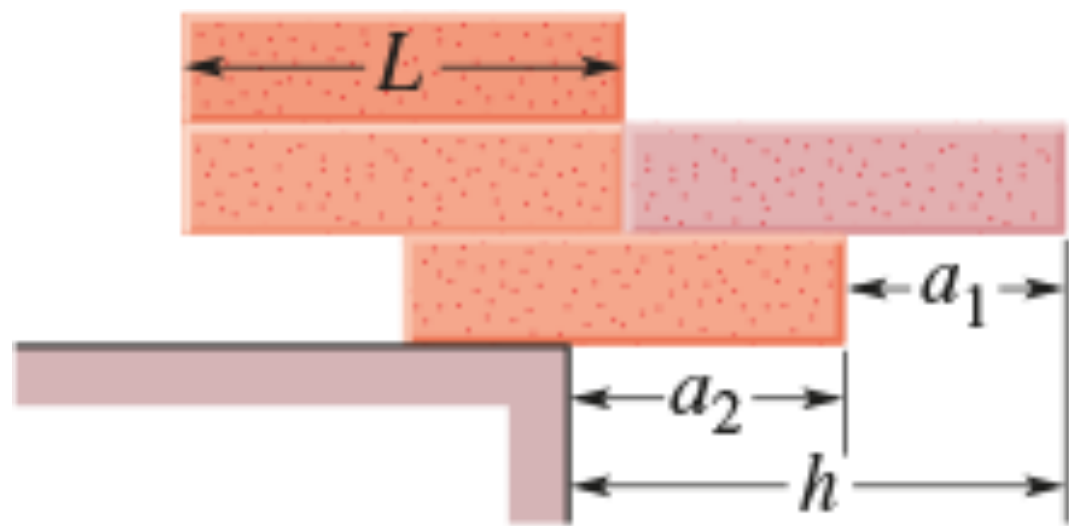




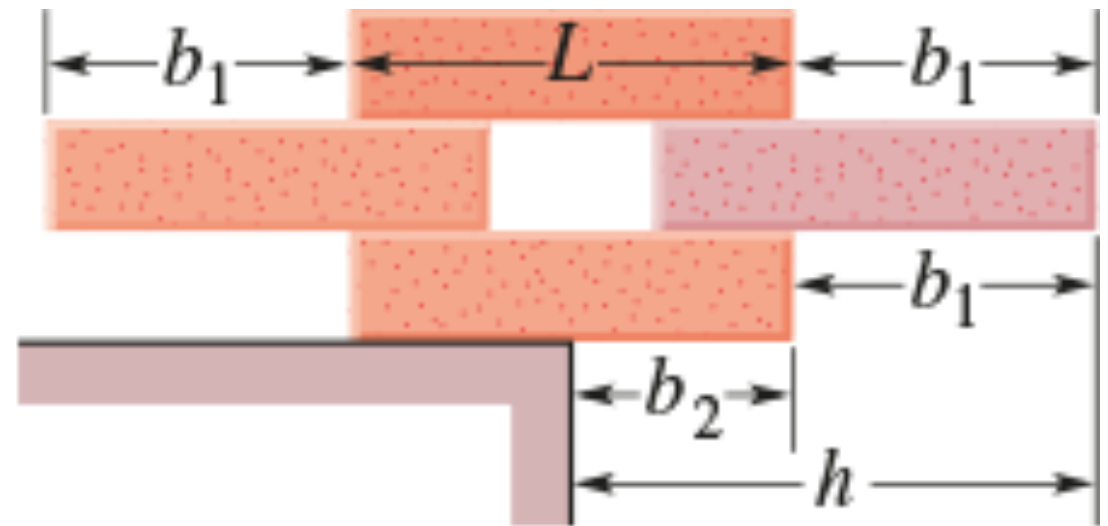








(a)



(b)



Hideo Kurihara/Stone/Getty Images.